



TUGAS AKHIR - MO 141326

**ANALISA TEGANGAN *RISER CLAMP ULA PLATFORM MILIK PHE-ONWJ*
(PERTAMINA HULU ENERGI - *OFFSHORE NORTH WEST JAVA*)**

IKA DESITA SARININGSIH

NRP. 4311100006

Dosen Pembimbing

Ir. Handayanu, M.Sc, Ph.D

Ir.Imam Rochani, M.Sc

JURUSAN TEKNIK KELAUTAN

Fakultas Teknologi Kelautan

Institut Teknologi Sepuluh Nopember

Surabaya 2015



FINAL PROJECT - MO 141326

RISER CLAMP STRESS ANALYSIS ULA PLATFORM OWNED BY PHE-ONWJ

(PERTAMINA HULU ENERGI - OFFSHORE NORTH WEST JAVA)

IKA DESITA SARININGSIH

NRP. 4311100006

Supervisors :

Ir. Handayanu, M.Sc, Ph.D

Ir.Imam Rochani, M.Sc

DEPARTEMENT OF OCEAN ENGINEERING

Faculty of Marine Technology

Sepuluh Nopember Institute of Technology

Surabaya 2015

**ANALISA TEGANGAN RISER CLAMP ULA PLATFORM MILIK PHE-
ONWJ (PERTAMINA HULU ENERGI – OFFSHORE NORTH WEST
JAVA)**

TUGAS AKHIR

Diajukan Untuk Memenuhi Salah Satu Syarat

Memperoleh Gelar Sarjana Teknik

pada

Program Studi S-1 Jurusan Teknik Kelautan

Fakultas Teknologi Kelautan

Institut Teknologi Sepuluh Nopember

Oleh:

IKA DESITA SARININGSIH

NRP. 4311100006

Disetujui oleh Pembimbing Tugas Akhir :

1. Ir. Handayani,M.Sc,Ph.D (Pembimbing 1)

2. Ir. Imam Rochani,M.Sc (Pembimbing 2)

SURABAYA, 3 Agustus 2015

ANALISA TEGANGAN RISER CLAMP ULA PLATFORM MILIK PHE-ONWJ (PERTAMINA HULU ENERGI – OFFSHORE NORTH WEST JAVA)

ABSTRAK

ULA platform merupakan struktur *jacket* baru yang akan dioperasikan di laut jawa tepatnya pada barat laut. Struktur ini didesain untuk mencapai produksi minyak sebesar 2200 BOPD dan gas 10 MMSCFD. Untuk menunjang produksi tersebut, maka membutuhkan fasilitas produksi seperti *riser*. Dalam desain *riser* hal yang perlu diperhatikan adalah *riser clamp*. *Riser clamp* merupakan salah satu bagian yang vital dalam struktur *jacket*. *Riser clamp* adalah sutsu alat yang digunakan dalam penyambungan *riser* dengan struktur. Kekuatan riser clamp sangat berpengaruh ketika struktur beroperasi. Tegangan yang diperoleh *riser clamp* akan mempengaruhi kekuatan dari *riser clamp* dan juga *brace* yang menghubungkan riser clamp dengan struktur yang pada akhirnya mempengaruhi juga kekuatan *brace* pada struktur itu sendiri. Dalam tugas akhir ini akan dilakukan kajian mengenai analisa tegangan riser clamp pada ULA Platform menggunakan *software* Autopipe untuk mengetahui beban-beban yang terjadi pada *riser clamp* serta menggunakan *software* Ansys untuk mengetahui tegangan maksimumnya. Tegangan *Von Misses* maksimum yang terjadi pada *Riser Clamp* yaitu sebesar 628 MPa dengan SMYS 720 MPa maka nilai *Unity Check* (UC) yang terjadi sebesar 0,872. Sedangkan untuk *bracing clampnya* tegangan *Von Misses* maksimum yang terjadi yaitu sebesar 225 MPa maka maka nilai *Unity Check* (UC) yang terjadi sebesar 0,313. Nilai *Unity Check* (UC) yang terjadi pada *riser clamp* serta pada *bracing clamp* nilainya masih dibawah 1(satu), maka struktur *clamp* tersebut aman.

Kata Kunci : ULA Platform, riser clamp, bracing clamp, Tegangan VonMisses, Unity Check.

RISER CLAMP STRESS ANALYSIS ULA PLATFORM OWNED BY PHE-ONWJ (PERTAMINA HULU ENERGI – OFFSHORE NORTH WEST JAVA)

Name	: Ika Desita S
NRP	: 4311100006
Departement	: Teknik Kelautan FTK - ITS
Supervisors	: Ir. Handayanu, M.Sc., Ph.D
	Ir. Imam Rochani, M.Sc

ABSTRACT

ULA platform is a new jacket structure operated in the north-west of the Java sea. This structure is designed to achieve oil and gas production for 2200 BOPD and 10 MMSCFD . To support the production, it requires facilities such as the riser. One important thing in the design of riser is the riser clamp. Riser clamp is a vital part in jacket structure. Riser clamp is used to support riser system. Strength of riser clamp had influencing the structure. Stress of riser clamp will affect the strength of the riser clamp and the bracing clamp, especially for jacket brace. In this final project will be studied the riser clamp stress analysis on ULA platform with Autopipe software for global analysis and Ansys software to determine the maximum stress. The total maximum Von Misses stress at the Riser Clamp is 628 MPa with the material SMYS is 720 MPa , so Unity Check (UC) is 0.872. As for bracing clamp , maximum of Von Misses stress is 225 MPa with the material SMYS is 720 MPa, so the Unity Check (UC) is 0,313. The Value of Unity Check (UC) at the riser clamp and the bracing clamp are less than 1 (one), so the clamp structure is secure.

Key words : ULA Platform, riser clamp, bracing clamp, VonMisses stress, Unity Check.

KATA PENGANTAR

Alhamdulillah segala puji syukur penulis panjatkan kepada Allah SWT atas limpahan rahmat-Nya, sehingga penulis dapat menyelesaikan Tugas Akhir ini dengan baik. Tugas Akhir ini berjudul “**ANALISA TEGANGAN RISER CLAMP ULA PLATFORM MILIK PHE-ONWJ (PERTAMINA HULU ENERGI – OFFSHORE NORTH WEST JAVA)**”, disusun guna memenuhi persyaratan dalam menyelesaikan Studi Kesarjanaan (S1) di Jurusan Teknik Kelautan (JTK), Fakultas Teknologi Kelautan (FTK), Institut Teknologi Sepuluh Nopember (ITS) Surabaya. Tugas akhir ini mengkaji tentang analisa tegangan maksimum pada *riser clamp* serta *bracing clampnya* berupa *unity check* guna mengetahui pengaruh struktur *clamp* terhadap *jacket*. Penulis menyadari dalam penulisan laporan ini masih banyak kekurangan, oleh karena itu saran dan kritik sangat penulis harapkan sebagai bahan penyempurnaan laporan selanjutnya. Penulis berharap semoga laporan ini bermanfaat bagi perkembangan teknologi di bidang rekayasa kelautan, bagi pembaca umumnya dan penulis pada khususnya.

Surabaya, Juli 2015

Penulis

DAFTAR ISI

HALAMAN JUDUL	i
ABSTRAK.....	iv
KATA PENGANTAR.....	vi
UCAPAN TERIMA KASIH.....	vii
DAFTAR ISI	viii
DAFTAR GAMBAR.....	x
DAFTAR TABEL	xi
DAFTAR NOTASI.....	xiii
BAB I PENDAHULUAN	1
1.1 Latar Belakang Masalah.....	1
1.2 Perumusan Masalah	2
1.3 Tujuan	2
1.4 Manfaat	2
1.5 Batasan Masalah	2
BAB II TINJAUAN PUSTAKA DAN DASAR TEORI	5
2.1 Tinjauan Pustaka.....	5
2.2 Dasar Teori.....	6
2.2.1 Kondisi Pembebanan	6
2.2.2 Jenis-jenis Pembebanan	7
2.2.3 Teori Tegangan pada Pipa.....	8
2.2.3.1 Tegangan Hoop.....	9
2.2.3.2 Tegangan Longitudinal.....	9
2.2.3.3 Tegangan Kombinasi (<i>Von Mises</i>)	11
2.3 Beban Gelombang	11
2.3.1 Penentuan Teori Gelombang	12
2.3.2 Teori Gelombang Stokes.....	13
2.3.3 Perhitungan Kecepatan Arus	15
2.4 Metode Elemen Hingga	16
2.5 Tegangan <i>Von Misses</i> Pada Ansys	18
BAB III METODOLOGI PENELITIAN.....	19

3.1 Metode Penelitian	19
3.2 Prosedur Penelitian	20
BAB IV ANALISA DAN PEMBAHASAN	25
4.1 Analisa Data Riser.....	25
4.1.1 Data umum riser	25
4.1.2 Data Lingkungan.....	25
4.1.3 Data <i>flange</i> dan <i>bolt</i>	29
4.2 Analisa Hasil Pemodelan.....	30
4.2.1 Analisa Beban <i>Riser Clamp</i>	30
4.2.2 Analisa Tegangan <i>Riser</i>	32
4.2.3 Analisa Hasil Pemodelan <i>Riser Clamp</i> menggunakan <i>Software Ansys</i> .	34
4.2.3.1 <i>Meshing Sensitivity Analysis</i>	35
4.3 Verifikasi dan Validasi.....	40
BAB V PENUTUP	41
5.1 Kesimpulan	41
5.2 Saran.....	42
DAFTAR PUSTAKA	43
LAMPIRAN A Input Outopipe	
LAMPIRAN B Output Outopipe	
LAMPIRAN C Drawing Riser Clamp	
BIODATA PENULIS	

DAFTAR TABEL

Tabel 2.1 Tegangan ijin pada masing-masing kondisi operasi	8
Tabel 2.2 Faktor desain untuk sistem <i>offshore pipeline</i>	11
Tabel 2.3. Parameter profil gelombang	14
Tabel 2.4 Parameter Kecepatan	15
Tabel 2.5 Parameter frekuensi dan tekanan.....	15
Tabel 3.1 Data proses <i>riser</i>	20
Tabel 3.2 Data <i>riser</i>	20
Tabel 3.3 Kedalaman	21
Tabel 3.4 Pasang surut	21
Tabel 3.5 Data Perairan	21
Tabel 3.6 Data Tanah	21
Tabel 3.7 Data Gelombang	21
Tabel 3.8 Data Arus	22
Tabel 3.9 Data Koeffesien Hidrodinamika.....	22
Tabel 4.1 Data Umum Riser	25
Tabel 4.2 Data Gelombang	26
Tabel 4.3 Data pasang surut	28
Tabel 4.4 Data arus	29
Tabel 4.5 Data tanah	29
Tabel 4.6 Data <i>flange</i> dan <i>bolt</i> pada <i>riser clamp</i>	29
Tabel 4.7 Gaya Maksimum Pada <i>Riser Clamp</i>	31
Tabel 4.8 Momen Maksimum Pada <i>Riser Clamp</i>	31

Tabel 4.9 Tegangan yang diijinkan pada kondisi operasi	32
Tabel 4.10 Tegangan yang diijinkan pada kondisi <i>hydrotest</i>	33
Tabel 4.11 Tegangan Maksimum Pada <i>Riser</i>	33
Tabel 4.12 Hasil Tegangan <i>Von Misses</i> Maksimum.....	40
Tabel 4.13 Verifikasi Hasil Pemodelan dengan Data Proyek	40

DAFTAR GAMBAR

Gambar 1.1 Peta Lokasi ULA <i>Platform</i>	1
Gambar 2.1 <i>Guide Clamp</i> ULA <i>platform</i>	6
Gambar 2.2 <i>Hoop Stress</i> pada pipa.....	9
Gambar 2.3 <i>Longitudinal Stress</i> pada pipa.....	11
Gambar 2.4 Grafik <i>Region of Validity of Wave Theories</i>	12
Gambar 2.5 Kecepatan efektif pada pipa	16
Gambar 3.1 Flowchart.....	19
Gambar 4.1 Grafik <i>region of validity of wave theories</i> untuk kondisi operasi.....	27
Gambar 4.2 Grafik <i>region of validity of wave theories</i> untuk kondisi <i>hydrotest</i>	28
Gambar 4.3 Model <i>Riser</i> dan <i>Spool</i> pada <i>Software Autopipe</i>	30
Gambar 4.4 Direksi <i>Riser Clamp</i>	32
Gambar 4.5 Model <i>Riser Clamp</i> pada Autocad 3D	35
Gambar 4.6 <i>Meshing Default</i> dari Ansys 15.0	36
Gambar 4.7 Meshing dengan <i>Size Soft</i>	36
Gambar 4.8 Meshing dengan <i>Size Rough</i>	37
Gambar 4.9 Model <i>Riser Clamp</i> serta Pembebananya pada Ansys 15	37
Gambar 4.10 Hasil Tegangan <i>Von Misses Riser Clamp</i> dengan <i>Meshing Default</i> . 38	38
Gambar 4.11 Hasil Tegangan <i>Von Misses Riser Clamp</i> dengan <i>Meshing Soft</i>	38
Gambar 4.12 Hasil Tegangan <i>Von Misses Riser Clamp</i> dengan <i>Meshing Rough</i> ..	39
Gambar 4.13 Detail lokasi Tegangan <i>Von Misses Maksimum</i> pada <i>Riser Clamp</i> ..	39

DAFTAR NOTASI

- P_i = Disain tekanan internal (Psi)
 D = Diamater luar pipa (in)
 t = Tebal pipa nominal (in)
 E = *Modulus Young* (MPa)
 T_i = Temperatur instalasi ($^{\circ}$ C)
 T_0 = Temperatur operasi ($^{\circ}$ C)
 ν = *Poisson ratio* = 0.3
 σ_h = *Hoop Stress* (Psi)
 α = Koefisien ekspansi termal ($^{\circ}$ C $^{-1}$)
 σ_E = Tegangan ekivalen Von Mises (MPa)
 σ_L = Tegangan longitudinal (MPa)
 H = Tinggi gelombang (m)
 g = percepatan gravitasi (m/s 2)
 T = periode gelombang (s)
 d = kedalaman perairan (m)
 U_D = Kecepatan partikel air (m/s)
 Z_o = Parameter kekasaran seabed
 Z_r = Ketinggian diatas seabed
 U_r = kecepatan arus (m/s)
 σ_x = tegangan normal sumbu x (Pa)
 σ_y = tegangan normal sumbu y (Pa)
 σ_z = tegangan normal sumbu z (Pa)
 τ_{xy} = tegangan geser bidang yz (Pa)
 τ_{yz} = tegangan geser bidang zx (Pa)
 τ_{zx} = tegangan geser bidang xy (Pa)
 F_x = Gaya dalam sb x
 F_y = Gaya dalam sb y
 F_z = Gaya dalam sb z
 M_x = Momen dalam sb x

M_y = Momen dalam sb y

M_z = Momen dalam sb z

N= Newton

KN= Kilo Newton

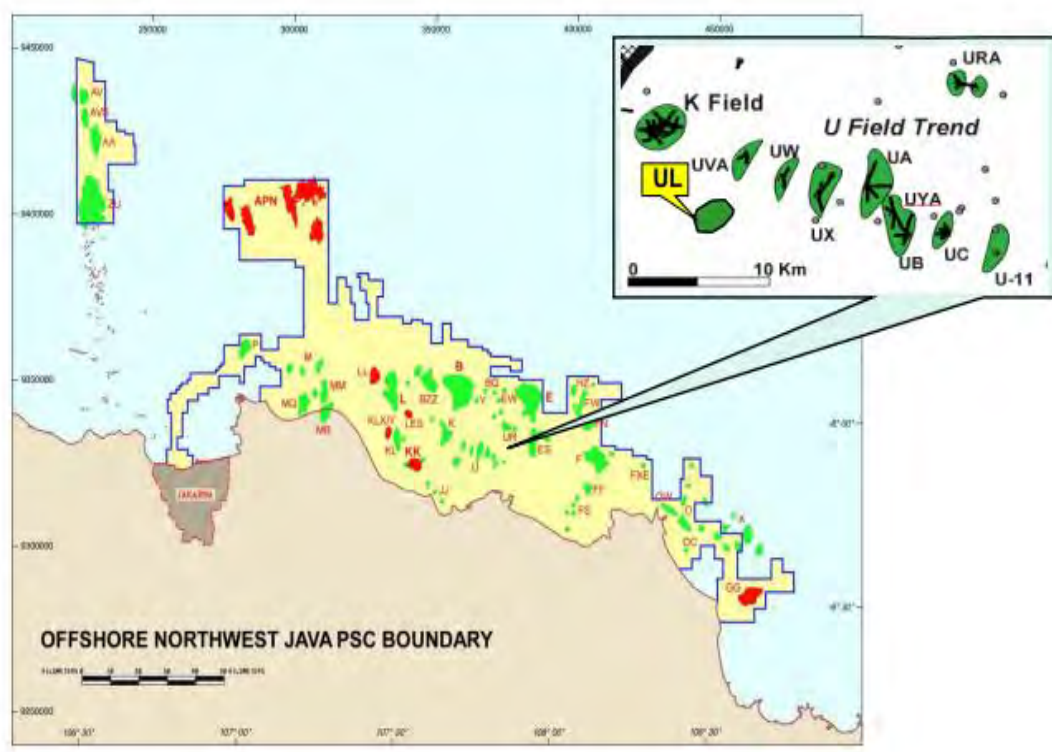
MPa= Mega Pascal

BAB I

PENDAHULUAN

1.1 Latar Belakang Masalah

Wellhead platform ULA adalah *jacket platform* baru yang dimiliki oleh Pertamina Hulu Energi *Offshore North West Java* (PHE ONWJ) yang beroperasi di Laut Jawa tepatnya bagian barat laut. ULA *platform* didesain untuk mencapai produksi minyak sebesar 2200 BOPD dan gas 10 MMSCFD. Untuk menunjang produksi tersebut, maka membutuhkan fasilitas produksi seperti *pipeline* dan *riser*. *Pipeline* atau pipa merupakan salah satu teknologi dalam mengalirkan fluida seperti minyak, gas atau air dalam jumlah besar dan jarak yang jauh melalui darat (*onshore*) ataupun lepas pantai (*offshore*) (Soegiono, 2007). Berikut Gambar 1.1 peta lokasi ULA *platform*.



Gambar 1.1 Peta Lokasi ULA Platform
(Sumber PHE ONJW)

Riser didefinisikan sebagai segmen atau pipa vertikal yang menghubungkan fasilitas di atas anjungan ke pipa bawah laut (Guo Buyon et al, 2005). Dalam desain riser hal yang perlu diperhatikan adalah *riser clamp*. *Riser clamp* merupakan salah satu bagian yang vital dalam struktur *jacket*. *Riser clamp* adalah sutau alat yang digunakan dalam penyambungan riser dengan struktur. Kekuatan *riser clamp* sangat berpengaruh ketika struktur beroperasi. Tegangan yang diperoleh *riser clamp* akan mempengaruhi kekuatan dari riser clamp itu sendiri dan juga brace yang menghubungkan riser clamp dengan struktur yang pada akhirnya mempengaruhi juga kekuatan brace pada struktur itu sendiri (Radiansah, 2008).

Dalam tugas akhir ini akan dilakukan kajian mengenai analisa tegangan *riser clamp* terhadap struktur *jacket* ULA dengan *software* Autopipe untuk permodelan riser. Sedangkan untuk permodelan dan menghitung tegangan *riser clamp* menggunakan *software* ANSYS

1.2 Perumusan Masalah

Permasalahan yang menjadi bahan kajian dalam tugas akhir ini antara lain:

1. Berapakah beban maksimum yang terjadi pada *riser clamp*?
2. Berapakah tegangan maksimum yang terjadi pada *riser clamp*?
3. Berapakah tegangan yang terjadi pada *bracing clamp*?

1.3 Tujuan

Adapun tujuan dari tugas akhir ini adalah sebagai berikut :

1. Menghitung beban maksimum yang terjadi pada *riser clamp*
2. Menghitung tegangan *von misses* maksimum yang terjadi pada *riser clamp*
3. Menghitung tegangan *von misses* maksimum yang terjadi pada *bracing clamp*

1.4. Manfaat

Dari hasil penggerjaan tugas akhir ini didapatkan tegangan maksimum dari *riser clamp* karena pengaruh riser pada *Jacket*. Hasil analisa tersebut akan bermanfaat sebagai bahan kajian mengenai pengaruh riser terhadap tegangan *riser clamp* yang nantinya dapat digunakan sebagai

pertimbangan dalam desain dari struktur *jacket* khususnya pada desain *riser clamp* itu sendiri.

1.5 Batasan Masalah

Dengan mempertimbangkan kompleksitas permasalahan maka beberapa batasan masalah yang digunakan dalam tugas akhir ini adalah sebagai berikut :

1. Desain *riser* yang digunakan adalah *riser* yang dioperasikan pada ULA *platform* yang terletak di perairan *North West Java*.
2. Seluruh riser dimodelkan untuk analisa global dengan *software* Autopipe.
3. Analisa global yang dilakukan pada saat kondisi operasi (data gelombang 100 tahunan) dan kondisi *hydrotest* (data gelombang 1 tahunan)
4. Variasi beban lingkungan dilakukan dengan 4 variasi arah yaitu :
 - Beban fungsional dengan beban lingkungan arah 90°.
 - Beban fungsional dengan beban lingkungan arah 180°
 - Beban fungsional dengan beban lingkungan arah 270° .
 - Beban fungsional dengan beban lingkungan arah 360°
 - Beban fungsional (berat pipa, *bouyancy,coating, fluid temperature dan fluid pressure*). *fluid temperature dan fluid pressure* untuk *hidrotest*
5. Analisa lokal dilakukan pada *riser clamp* dengan *software* ANSYS.
6. *Riser clamp* dianggap sebagai silinder homogen dengan *bracing* tipe T.
7. Analisa pada *riser clamp* dilakukan hanya saat kondisi operasi (data gelombang 100 tahunan) dan hanya pada salah satu *riser clamp* tipe *hanger weight clamp*.
8. *Stub* dari *bracing riser clamp* yang menempel pada ULA *platform* dianggap *fixed*
9. Tidak memperhitungkan pada saat kondisi *buckling*.
10. Tidak memperhitungkan tegangan akibat pengelasan dan jenis pengelasan pada *bracing riser clamp*.

11. Botl pada riser clamp dimodelkan dengan sebuah elemen yang mengikat clamp dan diberi gaya sesuai dengan data yang ada.

BAB II

TINJAUAN PUSTAKA DAN DASAR TEORI

2.1 Tinjauan Pustaka

Pada umumnya *riser* berfungsi untuk fasilitas pengeboran dan produksi , mengimpor hidrokarbon dari sumur atau *platform* yang jaraknya berjauhan , mengekpor hidrokarbon melalui pipa menuju darat, platform lain atau tempat penyimpanan, mengalirkan gas atau air untuk injeksi ke dalam *reservoir* , mengalirkan *gas lift* (gas yang dipompakan ke dasar sumur supaya aliran minyak dari sumur ke platform menjadi lebih cepat), melindungi saluran listrik dan hidrolik yang digunakan untuk mengontrol peralatan di dasar laut dan *work-over* (digunakan untuk perawatan sumur dan reservoir minyak untuk menjaga aliran fluida agar tetap lancar). Terdapat dua macam atau tipe riser yaitu :

1. *Rigid riser*

Rigid riser biasanya terbuat dari bahan baja dan biasanya digunakan pada bangunan lepas pantai jenis fixed. Riser jenis ini digunakan pada suhu dan tekanan fluida yang tinggi serta pada perairan dalam yang mana flexibel riser tipe logam tidak mampu untuk digunakan.

2. *Flexsibel riser*

Flexsibel riser yaitu jenis riser yang terbuat dari bahan elastis (misalnya wires atau polimeris) dan biasanya digunakan pada bangunan lepas pantai jenis floating. Riser ini tampak sebagai pipa yang melayang di dalam air dan disupport oleh baouyancinya.

Pada ULA *platform*, *riser* yang digunakan adalah tipe *rigid riser*. *Riser clamp* adalah suatu alat yang digunakan dalam penyambungan riser dengan struktur. Tegangan yang diperoleh oleh *riser clamp* akan mempengaruhi kekuatan dari *riser clamp* itu sendiri dan juga brace yang menghubungkan *riser clamp* dengan struktur yang pada akhirnya akan mempengaruhi juga kekuatan *brace* yang terdapat pada struktur itu sendiri. Dalam struktur anjungan lepas pantai biasanya *riser support* yang digunakan adalah (Shell, 1999) :

a. *Guide clamp*.

Tipe ini digunakan dalam pengekangan riser dari gerakan tegak lurus dan juga gerakan aksial

b. *Dead weight support clamp*

Tipe ini digunakan untuk menekang atau menahan dari *dead weight riser* dan juga menjaga agar riser tetap stabil dari gerakan aksial dan rotasi

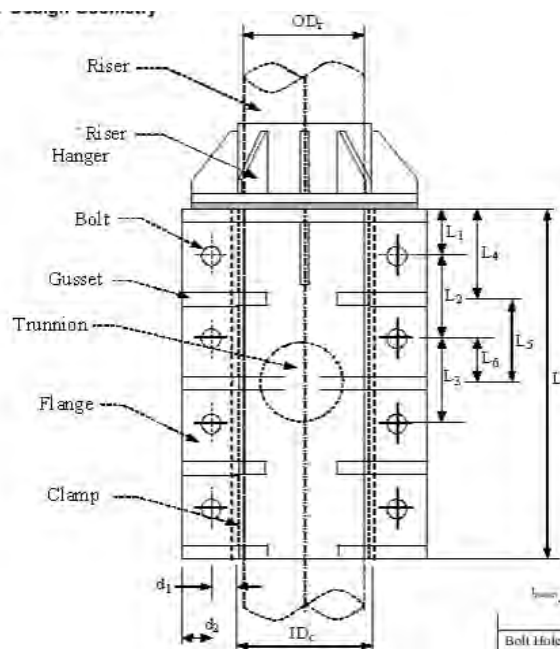
c. *Anchor clamp*

Tipe ini dipasang secara permanen pada struktur

d. *Topsides support*

e. *Special support*

Tipe support pada ULA platform adalah tipe *guide clamp* seperti yang ditunjukkan pada gambar 2.1 dibawah ini.



Gambar 2.1 *Guide Clamp ULA platform*

(Sumber PHE ONWJ)

2.2 Dasar Teori

2.2.1 Kondisi Pembebanan

Selama umur operasi pipa bawah laut, ada 4 jenis kondisi pembebanan pembebanan, antara lain (Kenny, 1993) :

a. *Instalasi*

Beban yang bekerja pada pipa saat kondisi ini antara lain : beban gelombang dan arus serta beban dari berat pipa itu sendiri. Tegangan yang terjadi pada kondisi ini dipengaruhi oleh metode instalasi yang digunakan.

b. *Water Filled*

Kondisi ini terjadi sebelum dan sesudah fase *hydrottest*. Kondisi ini terjadi pada fase dimana pipa untuk sementara ditinggalkan. Pada kondisi ini air laut masuk ke dalam pipa. Beban yang bekerja pada kondisi ini adalah beban dari berat pipa itu sendiri yang tentunya bertambah dengan adanya air laut yang masuk ke dalam pipa. Beban hidrodinamis juga bekerja pada kondisi ini.

c. *Hydrotest*

Kondisi *hydrottest* dilakukan untuk menguji kekuatan pipa dengan memberikan tekanan yang besar kedalam pipa. Beban yang mempengaruhi adalah tekanan dalam pipa (*internal pressure*) dan tentunya berat pipa yang bertambah akibat adanya air laut.

d. *Operasi*

Setelah instalasi dan *hydrottest*, berikutnya adalah fase operasi, dimana pipa mulai digunakan untuk mengalirkan fluida yang ditentukan. Tekanan dalam yang serta temperatur yang sangat tinggi akan mempengaruhi formasi dan tegangan pada pipa.

2.2.2 Jenis-jenis Pembebaan

Menurut Kenny (1993), beban yang bekerja pada pipa dibagi menjadi 2 kategori, antara lain :

1. *Functional Load*

Beban fungsional ini merupakan beban yang bekerja pada pipa sebagai akibat dari keberadaan pipa itu sendiri tanpa dipengaruhi oleh beban lingkungan. Beban fungsional antara lain adalah beban dari berat pipa itu sendiri, termasuk berat struktur baja pipa, berat lapisan anti korosi, lapisan selubung beton, beban akibat tekanan dalam yang diberikan pada pipa, beban akibat suhu yang cukup tinggi di dalam pipa, serta beban akibat sisa instalasi.

2. Environmental Load

Beban ini bekerja pada pipa akibat adanya kondisi lingkungan yang terjadi. Untuk beban pada pipa bawah laut, tentunya yang mempengaruhi adalah beban gelombang dan arus. Untuk mendapatkan data beban lingkungan yang tentunya bersifat acak, maka data yang digunakan untuk analisa adalah data dengan periode ulang (*return period*). Periode ulang merupakan data rata-rata beban yang terjadi.

2.2.3 Teori Tegangan pada Pipa

Pada sistem pipa penyalur minyak dan gas akan mengalami beban yang bekerja pada dinding pipa. Kombinasi dari tegangan yang bekerja pada dinding akan menyebabkan regangan atau defleksi. Besar nilai suatu tegangan akibat beban operasi yang terjadi dari tekanan fluida yang mengalir di dalam pipa dapat diturunkan menggunakan persamaan mekanika untuk bejana berdinding tipis (Popov,1978).

Tegangan *hoop* dan tegangan longitudinal yang bekerja pada sistem pipa sama dengan tegangan yang bekerja pada bejana tekan dinding tipis. Namun pada kondisi di lapangan dibutuhkan kondisi yang mendekati sebenarnya. Metode perhitungan dan analisa tegangan telah diatur dengan menggunakan *code* tertentu sesuai dengan kondisi operasi pipa tersebut.

Pada pipa penyalur fluida *liquid* dapat menggunakan *code* ASME B31.4 (2012). Dengan menggunakan *code* tersebut maka terdapat batasan besarnya nilai tegangan yang diijinkan untuk bekerja pada sistem pipa seperti pada Tabel 2.1.

Tabel 2.1 Tegangan ijin pada masing-masing kondisi operasi, (ASME B31.4, 2012)

Design Condition	Allowable		
	Hoop stress	Longitudinal Stress	Combined stress
<i>Operating</i>	72 % SMYS	80 % SMYS	90 % SMYS
<i>Hydrotesting</i>	90 % SMYS	-	96 % SMYS
<i>Installation</i>	72 % SMYS	80% SMYS	90 % SMYS

2.2.3.1 Tegangan Hoop

Tekanan dari dalam pipa akan menimbulkan *hoop stress*, jika *hoop stress* terlalu besar akan dapat menimbulkan beban melingkar pada daerah pipa dan dapat mengakibatkan pipa menjadi pecah. Besar tegangan ini bergantung pada variasi ketebalan dinding pipa yang mempengaruhi tekanan internal. Perhitungan tegangan hoop sesuai dengan ASME B31.4 (2012) sebagai berikut :

$$\sigma_h = P_i \frac{D}{2t} \quad (2.1)$$

Dimana :

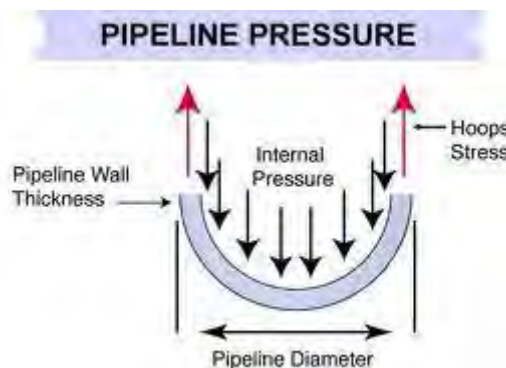
σ_h = Hoop Stress (Psi)

P_i = Disain tekanan internal (Psi)

D = Diamater luar pipa (in)

t = Tebal pipa nominal (in)

Berikut ilustrasi *hoop stress* yang ditunjukkan pada Gambar 2.2 dibawah ini.



Gambar 2.2 Hoop Stress pada pipa

2.2.3.2 Tegangan Longitudinal

Tegangan *longitudinal* merupakan tegangan yang timbul sebagai kombinasi pengaruh 2 komponen sebagai berikut :

1. Tegangan kompresif akibat ekspansi termal

Beda temperatur saat instalasi dan operasi menyebabkan ekspansi termal kearah longitudinal, namun karena *pipeline* dalam kondisi *restrained pipeline*, maka pipa tidak dapat mengalami ekspansi sehingga timbul tegangan termal :

$$\sigma_T = -E\alpha(T - T_0) \quad (2.2)$$

Dengan :

- E = Modulus Young (MPa)
 α = Koefisien ekspansi termal ($^{\circ}\text{C}^{-1}$)
 T = Temperatur instalasi ($^{\circ}\text{C}$)
 T_0 = Temperatur operasi ($^{\circ}\text{C}$)

Catatan: Tanda minus (-) menandakan tegangan termal merupakan tegangan kompresif.

2. Tegangan tensile

Akibat pengaruh tekanan internal maka bisa terbentuk tegangan lain sebagai reaksi dari tegangan *hoop* atau tegangan longitudinal, dan hal ini tergantung kondisi pipa *restraint* atau *unrestrain*. Tegangan longitudinal pada pipa *restraint* (tertahan) maka akan timbul reaksi tegangan tarik akibat pengaruh *poisson* dari tegangan *hoop*. Pengaruh *poisson* menggambarkan rasio regangan yang terjadi pada arah melintang terhadap regangan arah longitudinal. Dengan kata lain, tegangan *hoop* akan menimbulkan pengaruh tegangan tarik *poisson* pada arah longitudinal. Berikut adalah tegangan tarik longitudinal akibat pengaruh *poisson* pada pipa tertahan :

$$\sigma_P = v \cdot \sigma_h \quad (2.3)$$

Dengan :

- v = Poisson ratio = 0.3
 σ_h = Tegangan *hoop* (Psi)

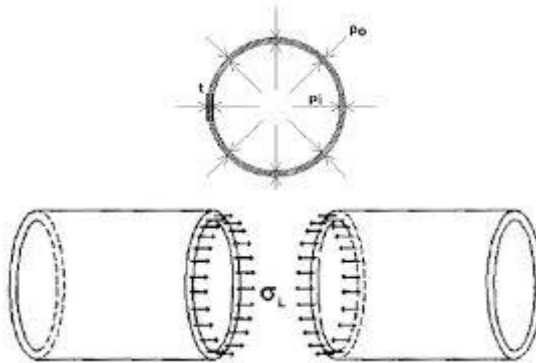
Melalui kedua komponen tegangan termal dan tegangan pengaruh *poisson* ini, maka tegangan longitudinal pipa yang berada dalam kondisi *restraint* adalah :

$$\sigma_L = v \cdot \sigma_h - E\alpha(T_i - T_0) \quad (2.4)$$

Dimana :

- v = Poisson ratio = 0.3
 σ_h = Tegangan *hoop* (Psi)
 E = Modulus Young (MPa)
 α = Koefisien ekspansi termal ($^{\circ}\text{C}^{-1}$)
 T_i = Temperatur instalasi ($^{\circ}\text{C}$)
 T_0 = Temperatur operasi ($^{\circ}\text{C}$)

Berikut gaya-gaya yang bekerja pada *longitudinal stress* yang ditunjukkan pada Gambar 2.3.



Gambar 2.3 Longitudinal Stress pada pipa

2.2.3.3 Tegangan Kombinasi (*Von Mises*)

Tegangan-tegangan yang bekerja pada arah berbeda-beda pada pipa dapat dipandang secara menyeluruh dengan menggunakan hubungan *Von Mises*. Karena tegangan geser tangensial sangat kecil maka tegangan-tegangan lain yang bekerja dapat diabaikan sehingga diperoleh tegangan ekivalen *Von Mises* sebagai berikut :

$$\sigma_E = \sqrt{\sigma_h^2 - (\sigma_h \sigma_L) + \sigma_L^2} \quad (2.5)$$

Dengan :

σ_E = Tegangan ekivalen Von Mises (MPa)

σ_h = Tegangan hoop (MPa)

σ_L = Tegangan longitudinal (MPa)

Berikut Tabel 2.2 mengenai faktor desain untuk sistem *offshore pipeline* berdasarkan ASME B3.14 tahun 2012

Tabel 2.2 Faktor desain untuk sistem *offshore pipeline* (ASME B3.14, 2012)

Location	Hoop stress	Longitudinal stress	Combined stress
<i>Pipeline</i>	0,72	0,8	0,9
<i>Riser and platform piping</i>	0,6	0,8	0,9

2.3 Beban Gelombang

Beban hidrodinamis yang terjadi pada pipa adalah beban gelombang dan arus.

2.3.1 Penentuan Teori Gelombang

Teori gelombang yang akan digunakan dalam perancangan dapat ditentukan dengan menggunakan formulasi matematika dari teori gelombang linier sebagai berikut :

$$\frac{H}{gT^2} = \frac{d}{gT^2} \quad (2.6)$$

Dimana:

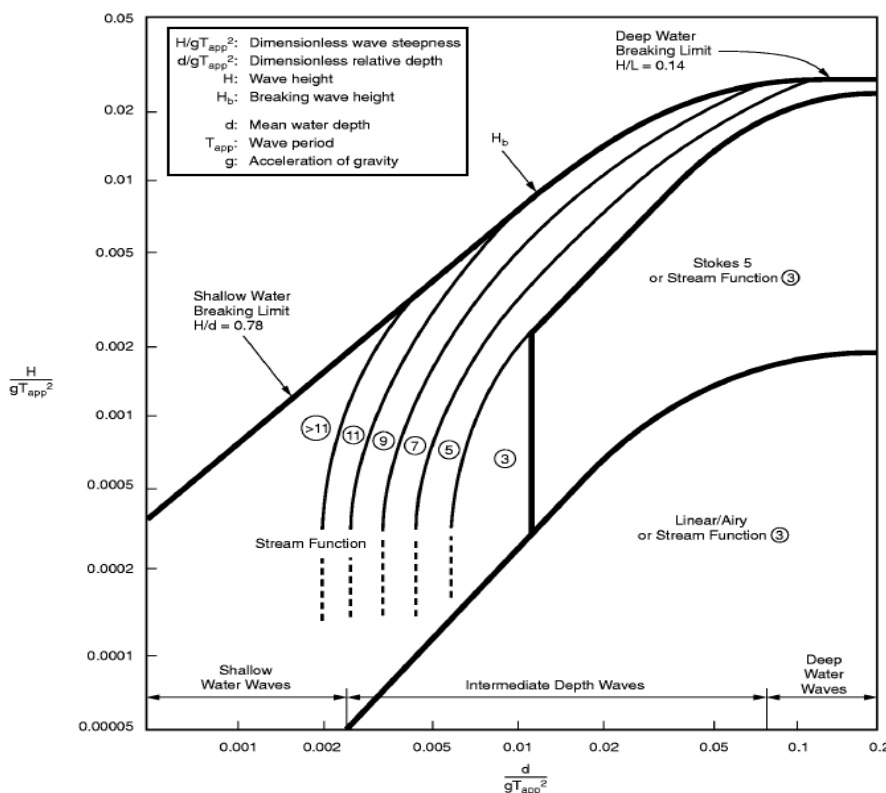
H : Tinggi gelombang (m)

g : percepatan gravitasi (m/s^2)

T : periode gelombang (s)

d : kedalaman perairan (m)

Dengan mengetahui panjang gelombang pada perairan dalam, maka dapat dihitung panjang gelombang untuk perairan dengan kedalaman yang lain. Hasil dari formulasi matematika tersebut kemudian disesuaikan dengan grafik Daerah Aplikasi Teori Gelombang “Regions of Validity of Wave Theories”, seperti terlihat pada Gambar 2.4 sehingga dapat diketahui teori gelombang yang akan digunakan.



Gambar 2.4 Grafik *Region of Validity of Wave Theories* (API RP 2A WSD, 2000)

2.3.2 Teori Gelombang Stokes

Pada umumnya bentuk gelombang di alam adalah sangat kompleks dan sulit digambarkan secara matematis karena ketidak linieran, tiga dimensi, dan mempunyai bentuk random (Triatmodjo,1999). Untuk menggambarkan gelombang tersebut, maka munculah beberapa teori gelombang dengan berbagai pendekatan. Penentuan teori gelombang yang berlaku didasarkan pada parameter-parameter berupa tinggi gelombang, periodenya serta kedalaman laut yang diamati. Semua parameter tersebut menjadi acuan untuk penentuan teori gelombang yang dapat dilihat pada grafik *Region Validity*.

Beberapa teori gelombang tersebut antara lain :

- Teori Gelombang *Airy*
- Teori Gelombang *Stokes*
- Teori Gelombang Knoidal
- Teori Gelombang Tunggal

Berdasarkan API RP-2A WSD (2000) pada penentuan teori gelombang diperoleh teori gelombang *Stokes* orde lima. teori gelombang yang dipergunakan teori gelombang *Stokes* orde lima karena penggunaanya sangat akurat untuk semua kondisi. Persamaan teori gelombang *Stokes* orde-lima diberikan notasi yang sama dengan notasi yang digunakan pada teori Airy. Untuk tinggi gelombang H , angka gelombang k , dan frekuensi ω dengan arah-x positif, fluktuasi permukaan bebas air η dari SWL, menurut teori *Stokes fifth-order*, dideskripsikan dengan persamaan (Dawson ,1983)

$$\eta = \frac{1}{K} \sum_{n=1}^5 F_n \cos(Kx - \omega t) \quad (2.7)$$

dengan, F_1, F_2, \dots dst diberikan

$$F_1 = a$$

$$F_2 = a^2 F_{22} + a^4 F_{24}$$

$$F_3 = a^3 F_{33} + a^5 F_{35}$$

$$F_4 = a^4 F_{44}$$

$$F_5 = a^5 F_{55}$$

dengan F_{22} , F_{24} , dst, adalah parameter profil gelombang yang tergantung kh dan a, untuk a diperoleh daripersamaan :

$$kh = 2 (a + a^3 F_{33} + a^5 (F_{35} + F_{55})) \quad (2.8)$$

Kecepatan partikel air horizontal u, dan vertikal v (pada jarak x, waktu t,dan tinggi y diatas *seafloor*) diekspresikan

$$u = \frac{\omega}{k} \sum_{n=1}^5 G_n \frac{\cosh nky}{\sinh nh} \cos n(kx - \omega t) \quad (2.9)$$

$$v = \frac{\omega}{k} \sum_{n=1}^5 G_n \frac{\sinh nky}{\sinh nh} \sin n(kx - \omega t) \quad (2.10)$$

Dengan G_1 , G_2 , dst diberikan

$$G_1 = a G_{11} + a^3 G_{13} + a^5 G_{15}$$

$$G_2 = 2 (a^2 G_{22} + a^4 G_{24})$$

$$G_3 = 3 (a^3 G_{33} + a^5 G_{35})$$

$$G_4 = 4 a^4 G_{44}$$

$$G_5 = 5 a^5 G_{55}$$

Dengan G_{11} , G_{13} , G_{15} , dst merupakan parameter kecepatan gelombang yang bergantung nilai kh.

Berikut Tabel 2.3 harga parameter profil gelombang, dan Tabel 2.4 parameter kecepatan gelombang.

Tabel 2.3. Parameter profil gelombang

h/λ	F₂₂	F₂₄	F₃₃	F₃₅	F₄₄	F₅₅
0.10	3.892	-28.61	13.09	-138.6	44.99	163.8
0.15	1.539	1.344	2.381	6.935	4.147	7.935
0.20	0.927	1.398	0.996	3.679	1.259	1.734
0.25	0.699	1.064	0.630	2.244	0.676	0.797
0.30	0.599	0.893	0.495	1.685	0.484	0.525
0.35	0.551	0.804	0.435	1.438	0.407	0.420
0.40	0.527	0.759	0.410	1.330	0.371	0.373
0.50	0.507	0.722	0.384	1.230	0.344	0.339
0.60	0.502	0.712	0.377	1.205	0.337	0.329

Tabel 2.4 Parameter Kecepatan

h/λ	G_{11}	G_{13}	G_{15}	G_{22}	G_{24}	G_{33}	G_{35}	G_{44}	G_{55}
0.10	1.000	-7.394	-12.73	2.996	48.14	5.942	121.7	7.671	0.892
0.15	1.000	-2.320	-4.864	0.860	0.907	0.310-	2.843	0.167	0.257
0.20	1.000	-1.263	-2.266	0.326	0.680	0.017	1.093	0.044	0.006
0.25	1.000	-0.911	-1.415	0.154	0.673	-0.030	0.440	0.005	0.005
0.30	1.000	-0.765	-1.077	0.076	0.601	-0.020	0.231	0.002	0.001
0.35	1.000	-0.696	-0.925	0.038	0.556	-0.012	0.152	0.002	0.000
0.40	1.000	-0.662	-0.850	0.020	0.528	-0.006	0.117	0.001	0.000
0.50	1.000	-0.635	-0.790	0.006	0.503	-0.002	0.092	0.000	0.000
0.60	1.000	-0.628	-0.777	0.002	0.502	-0.001	0.086	0.000	0.000

Selain itu ada penambahan lain yang berhubungan dengan frekuensi gelombang dan angka gelombang. Hubungan ini diberikan oleh persamaan :

$$\omega^2 = gk(1 + a^2 C_1 + a^4 C_2) \tanh kh. \quad (2.11)$$

dengan C_1 dan C_2 adalah parameter frekuensi pada Tabel 2.5

Tabel 2.5 Parameter frekuensi dan tekanan

h/λ	C_1	C_2	C_3	C_4
0.10	8.791	383.7	-0.310	-0.060
0.15	2.646	19.82	-0.155	0.257
0.20	1.549	5.044	-0.082	0.077
0.25	1.229	2.568	-0.043	0.028
0.30	1.107	1.833	-0.023	0.010
0.35	1.055	1.532	-0.012	0.004
h/λ	C_1	C_2	C_3	C_4
0.40	1.027	1.393	-0.007	0.002
0.50	1.008	1.283	-0.001	~0
0.60	1.002	1.240	-0.001	~0

Stokes orde 5 memberikan solusi untuk hubungan $c=\omega/k$,

$$c = \left[\frac{g}{k} (1 + a^2 C_1 + a^4 C_2) \tanh kh \right]^{1/2} \quad (2.12)$$

Koefisien kecepatan dituliskan,

$$U_n = \frac{GnCoshnk}{\sinh nky} \quad (2.13)$$

$$V_n = \frac{GnSinhnk}{\sinh nky} \quad (2.14)$$

2.3.3 Perhitungan Kecepatan Arus

Rumus yang digunakan untuk menghitung kecepatan arus adalah, sebagai berikut :

$$U_D = \left[\frac{1 + \frac{Z_o}{D} \cdot \ln\left(\frac{D}{Z_o} + 1\right) - 1}{\ln\left(\frac{Z_r}{Z_o} + 1\right)} \cdot \sin(\theta) \right] \quad (2.15)$$

dengan :

U_D = Kecepatan partikel air (m/s)

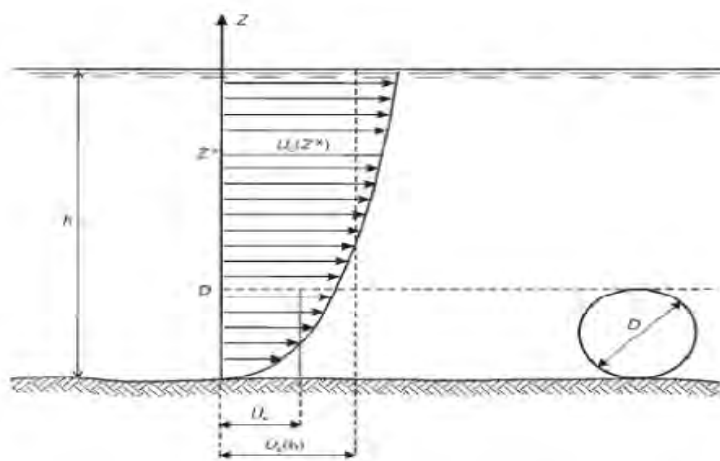
D = diameter luar pipa, (m)

Z_o = parameter kekasaran seabed

Z_r = Ketinggian diatas seabed

U_r = kecepatan arus (m/s)

Ilustrasi mengenai beban arus yang bekerja pada pipa dapat dilihat pada Gambar 2.5



Gambar 2.5 Kecepatan Efektif pada Pipa (Mikael, 2005)

2.4 Metode Elemen Hingga (MEH)

Metode elemen hingga merupakan pemodelan struktur dengan elemen-elemen kecil yang saling berhubungan. Tiap elemen dihubungkan secara langsung atau tidak langsung dengan suatu *interface* yang bisa berupa simpul atau garis pembatas atau permukaan pembatas. Dengan diketahuinya tegangan/regangan material yang membentuk struktur tersebut, maka dapat ditentukan pula kekakuan simpul yang merupakan fungsi dari sifat elemen yang lain dalam struktur. Secara

matematis, MEH merupakan sebagai teknik numerik untuk menyelesaikan permasalahan struktur dalam persamaan diferensial. Konsep dasar pemodelan menggunakan Metode Elemen Hingga (MEH) antara lain :

1. Menjadikan elemen-elemen diskrit untuk memperoleh simpangan dan gaya dari suatu struktur
2. Menggunakan elemen kontinu untuk memperoleh solusi pendekatan terhadap permasalahan-permasalahan tentang perpindahan anas, mekanika fluida, dan mekanika *solid*.

Dalam analisa kekuatan struktur *riser clamp*, hal yang penting yang harus dilakukan oleh *desainer* yaitu dalam perhitungan menggunakan metode elemen hingga. Perhitungannya meliputi model geometri, properties material, ketidaktentuan dari *riser clamp*, dan perkiraan tentang beban maksimum yang diberikan sesuai dengan keadaan yang terjadi. Hal yang penting lainnya adalah efek yang terjadi akibat beban siklis. Beban siklis biasanya akan menambah kerusakan dalam hal kepecahan struktur yang pada akhirnya akan mengurangi umur dari struktur itu sendiri. Hal-hal yang perlu diperhatikan dalam analisa menggunakan metode elemen hingga yaitu :

1. Model Geometri dan Kondisi Batas

Dalam aplikasinya, kondisi batas akan mereduksi dalam hal pembuatan model dari elemen hingga struktur yang akan dianalisa. Untuk memperoleh hasil yang tepat atau akurat, maka digunakan material, geometri dan beban yang terdistribusi sesuai dengan keadaan sebenarnya.

2. Material

Dalam analisa menggunakan *software* metode elemen hingga yang paling penting yaitu memasukkan jenis material yang digunakan, tetapi juga disesuaikan dengan jenis material yang terdapat pada *software* itu sendiri. Analisa yang dilakukan biasanya untuk mendeskripsikan karakteristik dari suatu material dengan memasukkan nilai modulus elastisitas dan *poisson ratio*.

3. *Meshing*

Meshing yang dilakukan dalam permodelan tergantung pada elemen yang dipilih dan tingkat kedetailan dari analisa. Pemilihan meshing biasanya berdasarkan prosedur verifikasi pada pengujian model.

4. Beban

Pembebanan pada model yang akan dianalisa sangat berpengaruh pada hasil yang dikeluarkan oleh *software*. Oleh karena itu, dalam memasukkan nilai beban harus sesuai dengan kondisi yang sebenarnya.

2.5 Tegangan *Von Mises* Pada Ansys

Tegangan Von Mises merupakan tegangan yang didapatkan melalui perhitungan yang melibatkan stress dan strain pada semua arah sumbu (x, y, dan z). Dengan demikian dapat disimpulkan tegangan Von Mises merupakan tegangan total dan merupakan resultan tegangan yang terjadi pada pelat/struktur. Sehingga tegangan Von Mises dapat dijadikan tolak ukur indikasi besarnya tegangan sisa yang terjadi tanpa memperhatikan arah tegangan tersebut. Penggabungan tegangan-tegangan utama pada suatu elemen merupakan suatu cara untuk mengetahui nilai tegangan maksimum yang terjadi pada node tersebut. Salah satu cara mendapatkan tegangan gabungan adalah dengan menggunakan formula tegangan *Von Mises*:

$$\sigma_E = \frac{1}{2} \sqrt{(\sigma_x - \sigma_y)^2 + (\sigma_y - \sigma_z)^2 + (\sigma_z - \sigma_x)^2 + 6(\tau_{xy}^2 + \tau_{yz}^2 + \tau_{zx}^2)} \quad (2.18)$$

dengan:

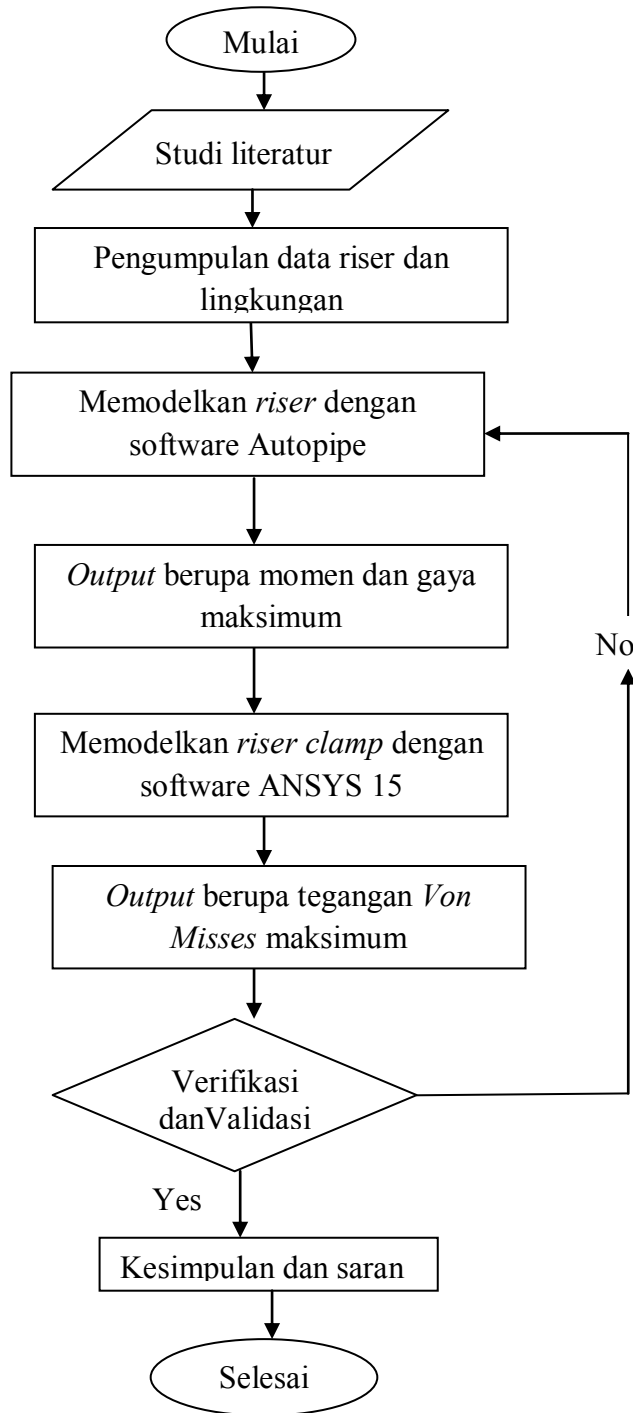
- | | |
|-------------|---|
| σ_E | = tegangan ekuivalen (<i>von mises stress</i>) (Pa) |
| σ_x | = tegangan normal sumbu x (Pa) |
| σ_y | = tegangan normal sumbu y (Pa) |
| σ_z | = tegangan normal sumbu z (Pa) |
| τ_{xy} | = tegangan geser bidang yz (Pa) |
| τ_{yz} | = tegangan geser bidang zx (Pa) |
| τ_{zx} | = tegangan geser bidang xy (Pa) |

BAB III

METODOLOGI PENELITIAN

3.1 Metode Penelitian

Berikut Gambar 3.1 diagaram alir metode penelitian.



Gambar 3.1 Flowchart

3.2 Prosedur Penelitian

Untuk menyelesaikan permasalahan dalam penelitian ini diperlukan tahap-tahap yang berurutan berdasarkan urutan kerja sehingga tujuan yang diharapkan dapat tercapai dengan baik. Tahapan-tahapan tersebut yaitu :

1. Studi literatur

Studi literatur dilakukan untuk mencari referensi tugas akhir (TA), jurnal, artikel, buku dan code yang sesuai mengenai desain *riser clamp*. Code yang digunakan dalam desain *riser clamp* yaitu ASME B31.4 dan DNV OS F101

2. Pengumpulan data

Data *riser* yang digunakan adalah data *riser ULA platform* milik PHE ONWJ.

Berikut data-data yang diperlukan untuk desain riser yaitu :

- a. Data proses *riser* yang ditunjukkan pada Tabel 3.1

Tabel 3.1 Data proses *riser*

Parameters	Units	Value
Design Pressure	psig	1600 (11.03 MPa)
Operating Pressure	psig	160 (1.10 MPa)
Hydrotest Pressure	psig	2000 (13.79 MPa)
Mechanical Design Temp. (Metal)	°F	200 (93.3°C)
Operating Temperature	°F	112 (44.4°C)

Note:

1. For non-metallic materials (external corrosion coating), the design temperature shall be the operating temperature added by 30°C [Ref.2.1.(7)]

- b. Data *riser* yang ditunjukkan pada Tabel 3.2

Tabel 3.2 Data *riser*

Parameters	Units	Value
Outside Diameter	mm	323.9
Material	-	API 5L Grade X52MO PSL2 CS
Seam Type	-	HF-ERW
SMYS	MPa	360 (52.20 ksi)
SMTS	MPa	460 (66.70 ksi)
Young Modulus	MPa	2.07×10^5
Poison Ratio	-	0.3
Density	kg/m³	7850
Structural Damping Coefficient	-	0.26
Coefficient of Thermal Expansion	/°C	1.1×10^{-5}
Service	-	Three Phase

- c. Data lingkungan meliputi :

- Kedalaman yang ditunjukkan pada Tabel 3.3

Tabel 3.3 Kedalaman

Item	Units	Value (note 1)
ULA Platform Water Depth	m	22.7 (riser location)

- Data pasang surut yang ditunjukkan pada Tabel 3.4

Tabel 3.4 Pasang surut

Item	Units	Return Period	
		1-Year	100-Year
Storm Tide (Surge)	m	0.152	0.244
Highest Astronomical Tide (HAT)	m	1.158	1.158

- Data perairan yang ditunjukkan pada Tabel 3.5

Tabel 3.5 Data Perairan

Parameter		Unit	Value
Density of Sea Water		kg/m ³	1025
Ambient Temperature (Note 1)	Max.	°C	30.0
	Min.	°C	22.2
Sea water temperature (Note 1)		°C	26.6
Sea Floor Temperature (Note 1)	Max.	°C	27.8
	Min.	°C	15.0
Kinematics Viscosity		m ² /s	1.13 x 10 ⁻⁵

Note:

1. The sea floor temperature was considered in the riser and spool analysis.

- Data tanah yang ditunjukkan pada Tabel 3.6

Tabel 3.6 Data Tanah

Parameter		Units	Value
Soil Type (Note 1)		-	Very Soft Clay
Un-drained Shear Strength		kPa	2.0 – 6.0 (6.0 kPa is selected)
Angle Friction		Deg	0.0
Submerged Weight		kg/m ³	815.7 (8000 N/m ³ is selected)
Friction Coefficient. (Note 1)	Lateral	-	0.2
	Axial	-	0.22

Note:

1. Lateral soil friction is based on DNV RP F105 for clay soil type

- Data gelombang yang ditunjukkan pada Tabel 3.7

Tabel 3.7 Data Gelombang

Return Per.	Wave Height (mm)	Wave Period (sec)
1-year	5090.16	7.10
100-years	8625.84	9.40

- Data arus yang ditunjukkan pada Tabel 3.8

Tabel 3.8 Data Arus

Return Per.	Percent of Depth Below Water Surface (%)										
	0	10	20	30	40	50	60	70	80	90	100
1-year (m/s)	0.9144	0.853	0.7925	0.7315	0.6706	0.6096	0.5486	0.4877	0.4267	0.3658	0.24384
100-years (m/s)	1.2192	1.128	1.0363	0.9754	0.8839	0.7925	0.7315	0.6706	0.6096	0.5182	0.3048

- Data koeffesien hidrodinamika yang ditunjukkan pada Tabel 3.9

Tabel 3.9 Data Koeffesien Hidrodinamika

Parameter	Riser	Pipeline ⁽¹⁾
Drag Coefficient	0.7 ⁽²⁾ – 1.0 ⁽²⁾	0.7 ⁽³⁾ – 1.2 ⁽³⁾
Lift Coefficient	0	0.9
Inertia Coefficient	2	3.29

Notes:

1. Hydrodynamic coefficient factors for pipelines are in accordance with DNV RP-F305 .
2. 0.7 -with marine Growth and 1.0 - without marine growth
3. 0.7 for $Re \geq 3 \times 10^5$ (Supercritical flow) and 1.2 for $Re < 3 \times 10^5$ (sub critical and critical flow)

3. Pemodelan *riser* dengan *software* Autopipe

Setelah mendapatkan data *riser* dan lingkungan, kemudian memodelkan *riser* dengan *software* Autopipe untuk mendapatkan hasil tegangan global *riser* yang berupa gaya dan momen maksimum .

4. Permodelan *riser clamp* dengan *software* ANSYS 15

Sebelum pemodelan paa *software* ANSYS, struktur clamp dimodelkan terlebih dahulu pada *software* Autocad 3D kemudian id import dalam bentuk .igs agar dapat di analisa menggunakan *software* ANSYS. Hasil tegangan global *riser* yang berupa gaya dan momen maksimum tersebut, dimasukkan kedalam permodelan *riser clamp* menggunakan *software* ANSYS. Selain gaya dan momen, inutannya juga berupa beban pada bolt yang mengikat *riser clamp*. Permodelan *riser clamp* menggunakan *software* ANSYS untuk mengetahui tegangan *Von Misses* maksimum pada *riser clamp* dan pengaruh *riser clamp* terhadap *brace* struktur. Pemodelan dilakukan hanya pada salah satu dari tiga *riser clamp* yang ada.

5. Verifikasi dan validasi

Verifikasi dan validasi dilakukan untuk mencocokan hasil yang diperoleh dengan data sesungguhnya. Hasil perhitungan untuk desain *riser clamp* pada data dilakukan dengan metode *in house validated* menggunakan *software*

MATHCAD. Maka validasi dilakukan untuk mencocokkan data perhitungan manual dengan *software* ANSYS. Validasi dikatakan benar jika selisih hasil yang diperoleh dengan data sesungguhnya kurang dari 5%. Jika melebihi maka, dilakukan pengecekan kembali pada pemodelan Autopipe.

6. Kesimpulan dan saran

Setelah melakukan analisis tegangan pada *riser clamp*, maka dapat ditarik kesimpulan terhadap hasil penelitian. Kesimpulan merupakan jawaban dari rumusan masalah yang menjadi tujuan dalam penelitian ini. Penulisan saran juga dibutuhkan agar penelitian yang akan datang akan lebih baik hasilnya.

(halaman sengaja dikosongkan)

BAB IV

ANALISA DAN PEMBAHASAN

4.1 Analisa Data Riser

4.1.1 Data umum riser

Data umum *riser* yang diberikan oleh PHE ONWJ untuk analisa beban dan tegangan antara lain dijelaskan pada Tabel 4.1 berikut.

Tabel 4.1 Data Umum Riser

Parameter	Nilai	Satuan	Nilai	Satuan
Diameter pipa, OD	12	In	323,9	mm
Ketebalan Pipa	0,56	In	14,27	mm
Operating Pressure	160	psig	1,01	MPa
Operating Temperature	112	°F	44,4	°C
Hydrotest Pressure	2000	psig	13,79	MPa
Ambient Temperature	Max	30 °C		
	Min	22,2 °C		
Kelas Material Riser	API 5L Gr B X52MO PSL2 CS			
SMYS	52,2	Ksi	360	MPa
Modulus Young	207000 MPa			
Rasio Poisson	0,3			
Massa Jenis Pipa	7850 kg/m ³			
Koefisien Ekspansi Termal	1,1 x 10 ⁻⁵ /°C			
Kedalaman Riser	22,7 m			

4.1.2 Data Lingkungan

Data lingkungan yang diberikan oleh PHE ONWJ untuk analisa beban pada risers antara lain:

1. Data gelombang

Data gelombang meliputi tabel 4.2 dibawah ini.

Tabel 4.2 Data Gelombang

Periode	Tinggi Gelombang (mm)	Periode gelombang (s)
1 tahun	5090,16	7,1
100 tahun	8625,84	9,4

Teori gelombang yang digunakan dalam perancangan suatu struktur ditentukan berdasarkan *region of validity of wave theories*”, seperti terlihat pada Gambar 4.1 menurut API RP 2A-WSD (2000). Teori gelombang yang akan digunakan dapat ditentukan dengan menggunakan formulasi matematika dari teori gelombang linier sebagai berikut :

$$\frac{H}{gT^2} = \frac{d}{gT^2} \quad (4.1)$$

Dimana

H : Tinggi gelombang (m)

g : percepatan gravitasi (m/s^2)

T : periode gelombang (s)

d : kedalaman perairan (m)

:

Dengan menggunakan formulasi diatas dan dengan data yang sudah ada, maka dapat ditentukan penggunaan teori gelombang yang sesuai sebagai berikut.

- a. Untuk kondisi operasi (100 tahun) :

Diketahui :

$$H = 5,09016 \text{ m}$$

$$g = 9,8 \text{ m/s}^2$$

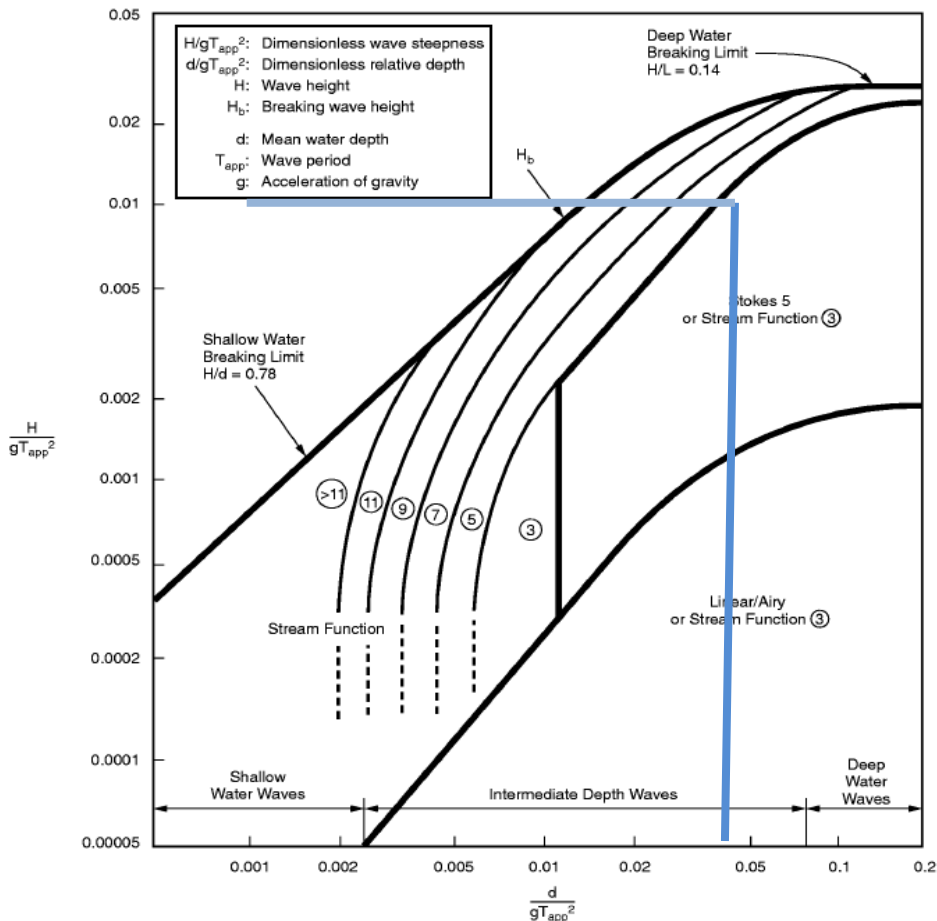
$$T = 7,1$$

$$d = 22,7 \text{ m}$$

maka,

$$\frac{H}{gT^2} = \frac{8,62584}{9,8 \cdot (9,4)^2} = 0,01$$

$$\frac{d}{gT^2} = \frac{22,7}{9,8 \cdot (9,4)^2} = 0,02$$



Gambar 4.1 Grafik *region of validity of wave theories* untuk kondisi operasi

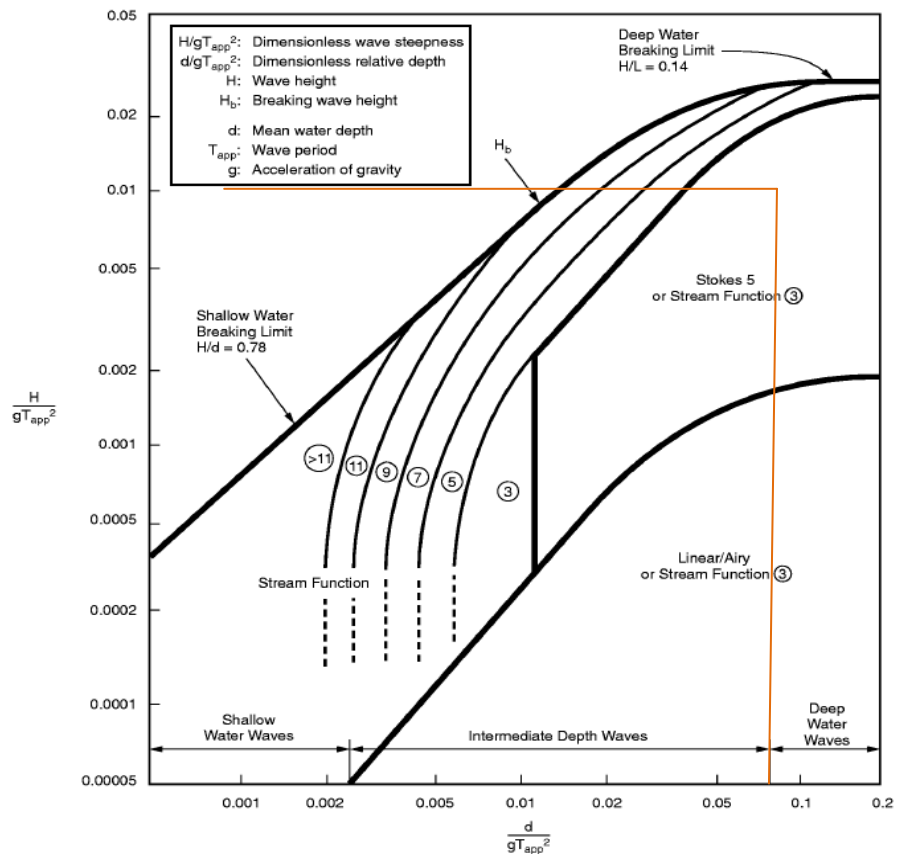
Sumber : API RP 2A WSD

Dari Gambar 4.1 dapat dilihat bahwa pada analisa untuk kondisi operasi menggunakan teori gelombang *stream function*.

b. Untuk kondisi hydrotest (10 tahun) :

$$\frac{H}{gT^2} = \frac{5,09016}{9,8 \cdot (7,1)^2} = 0,01$$

$$\frac{d}{gT^2} = \frac{22,7}{9,8 \cdot (7,1)^2} = 0,045$$



Gambar 4.2 Grafik *region of validity of wave theories* untuk kondisi *hydrotest*

Sumber : API RP 2A WSD

Sedangkan untuk kondisi *hydrotest* seperti yang terlihat pada Gambar 4.2 teori gelombang yang digunakan yaitu teori *stokes* orde 5 atau *stream function*.

2. Data pasang surut di perlihatkan pada Tabel 4.3 dibawah ini.

Tabel 4.3 Data pasang surut

	Satuan	1 tahun	100 Tahun
Badai (<i>surge</i>)	m	0,152	0,244
HAT	m	1,158	1,158

3. Data arus

Data arus yang dilakukan dalam analisa beban maksimum pada riser terbagi dalam 5 persentase kedalaman seperti pada Tabel 4.4

Tabel 4.4 Data arus

	Persentase kedalaman dibawah elevasi muka air (%)				
	0	25	50	75	100
1 tahun	0,9144	0,7620	0,6096	0,4572	0,2438
100 Tahun	1,2192	1,0085	0,7925	0,6401	0,3048

4. Data tanah diperlihatkan pada Tabel 4.5.

Tabel 4.5 Data tanah

Parameter	Satuan	Nilai
Tipe tanah	-	<i>Very Soft Clay</i>
<i>Un-drained shear strength</i>	kPa	6
<i>Angle friction</i>	deg	0
Berat terpendam	N/m ³	8000
<i>Friction coefficient</i>	-	0,2

4.1.3 Data *flange* dan *bolt*.

Data *flange* dan *bolt* untuk pemodelan *riser clamp* dapat dilihat pada Tabel 4.6

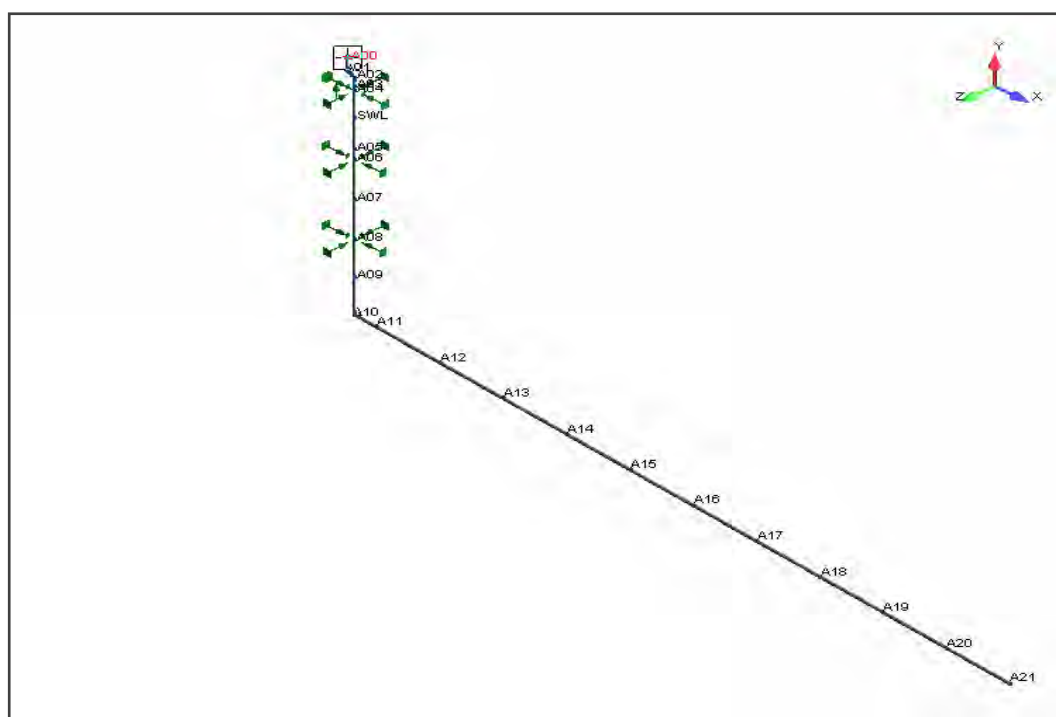
Tabel 4.6 Data *flange* dan *bolt* pada *riser clamp*

parameter	satuan	nilai
Material <i>flange</i>	-	ASTM A694 F52
<i>Rating</i>	-	#900
SMYS	MPa	360
Material <i>bolt</i>	-	ASTM A 193 Gr B7
Jumlah <i>bolt</i>	-	8
Beban	N	15300
SMYS	MPa	720

4.2 Analisa Hasil Pemodelan

4.2.1 Analisa Beban Riser Clamp

Analisis dilakukan menggunakan software Autopipe yang dikembangkan dan dikelola oleh BENTLEY SYSTEMS. Autopipe adalah program analisis elemen hingga digunakan untuk menganalisis pipa dan sistem struktur mengalami beban statis dan dinamis. Program ini berisi tutorial yang lengkap mengenai sifat material dan komponen perpipaan termasuk pipa, belkan, flensa dan lain-lain. Program ini memperhitungkan perilaku non-linear dari kekangan karena kesenjangan atau gesekan dan *bouyancy* pada pipa bawah laut dan riser. Berikut Gambar 4.3 pemodelan riser dan spool pada Autopipe.



Gambar 4.3 Model *Riser* dan *Spool* pada Software Autopipe

Analisa beban pada *riser* dimodelkan pada kondisi operasi dan *hydrottest* dengan empat pembebanan arah lingkungan yaitu 90^0 , 180^0 , 270^0 , dan 360^0 . Pada kondisi *hydrottest* menggunakan data gelombang 1 tahunan sedangkan pada kondisi operasi (ekstrim) menggunakan data 100 tahunan. Pemberian pada kondisi *hydrottest* dilakukan untuk menguji kekuatan *riser* sebelum proses instalasi dan operasi. Jika pada waktu konsisi *hydrottest* tegangan yang terjadi

kurang dari SMYSnya maka struktur tersebut bisa dilakukan penginstalan serta operasi. Berikut ini hasil dari gaya dan momen maksimum pada *riser clamp* pada Tabel 4.7 dan Tabel 4.8.

Tabel 4.7 Gaya Maksimum Pada Riser Clamp

Node	Tipe Support	Pembebanan	Gaya Maksimum (N)		
			Fx	Fy	Fz
A04	Hanger Weight Clamp (A04)	Hydrotest	-7446	10793	20854
		Operasi(ekstrem)	-27144	37785	-9906
A06	Riser Guide Clamp 1 (A06)	Hydrotest	-2115	6380	-2480
		Operasi(ekstrem)	12447	-6801	8156
A08	Riser Guide Clamp 2 (A08)	Hydrotest	-3120	4200	1167
		Operasi(ekstrem)	-7503	5228	4727

Tabel 4.8 Momen Maksimum Pada Riser Clamp

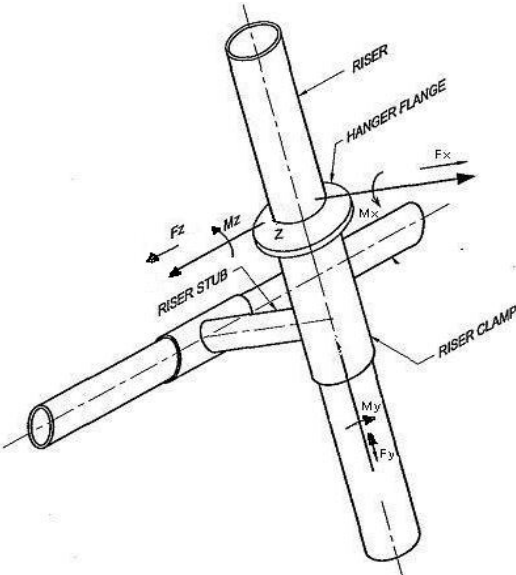
Node	Tipe Support	Pembebanan	Momen Maksimum (N.m)		
			Mx	My	Mz
A04	Hanger Weight Clamp (A04)	Hydrotest	35651	-663	-15756
		Operasi(ekstrem)	9738	-194	65390
A06	Riser Guide Clamp 1 (A06)	Hydrotest	-12204	-663	6588
		Operasi(ekstrem)	10672	-194	-32268
A08	Riser Guide Clamp 2 (A08)	Hydrotest	-15299	-663	7952
		Operasi(ekstrem)	7630	-194	13336

Keterangan :

- X (+) arah model pada AutoPIPE adalah timur arah platform

- Y (+) arah model pada AutoPIPE adalah bawah
- Z (+) arah model pada AutoPIPE adalah selatan arah platform
- Arah platform yaitu 45^0 dari arah utara sebenarnya.

Berikut Gambar 4.4 penjelasan direksi pada *riser clamp*.



Gambar 4.4 Direksi *Riser Clamp* (sumber PHE ONWJ)

4.2.2 Analisa Tegangan *Riser*

Sesuai dengan kode standar ASME B31.4 (2012), tegangan *riser* yang diijinkan dapat dilihat pada Tabel 4.9 dan Tabel 4.10 berikut ini.

Tabel 4.9 Tegangan yang Diijinkan pada Kondisi Operasi

Tegangan	Tegangan Kerja yang Diijinkan	
	f_{smys}	
Tegangan Hoop	72 % SMYS	259,2 MPa
Tegangan Longitudinal	80 % SMYS	288 MPa
Tegangan Kombinasi	90 % SMYS	324 MPa

Tabel 4.10 Tegangan yang Dijinkan pada Kondisi *Hydrotest*

Tegangan	Tegangan Kerja yang Dijinkan	
	f_{smys}	
Tegangan Hoop	90 % SMYS	324 MPa
Tegangan Longitudinal	-	-
Tegangan Kombinasi	96 % SMYS	345,6 MPa

Jika terdapat salah satu tegangan yang melebihi tegangan ijinnya, maka sistem pipa akan mengalami kegagalan dalam bentuk deformasi plastis atau *yielding*. Dalam perhitungan kali ini menggunakan temperatur tekanan pada saat operasi yang terjadi yaitu pada kondisi 44,4°C (1,10 Mpa) dan pada kondisi *hydrotest* 26,6 °C (13,79 Mpa). Berikut hasil perhitungan tegangan ijin pada *riser* yang ditunjukkan pada Tabel 4.11

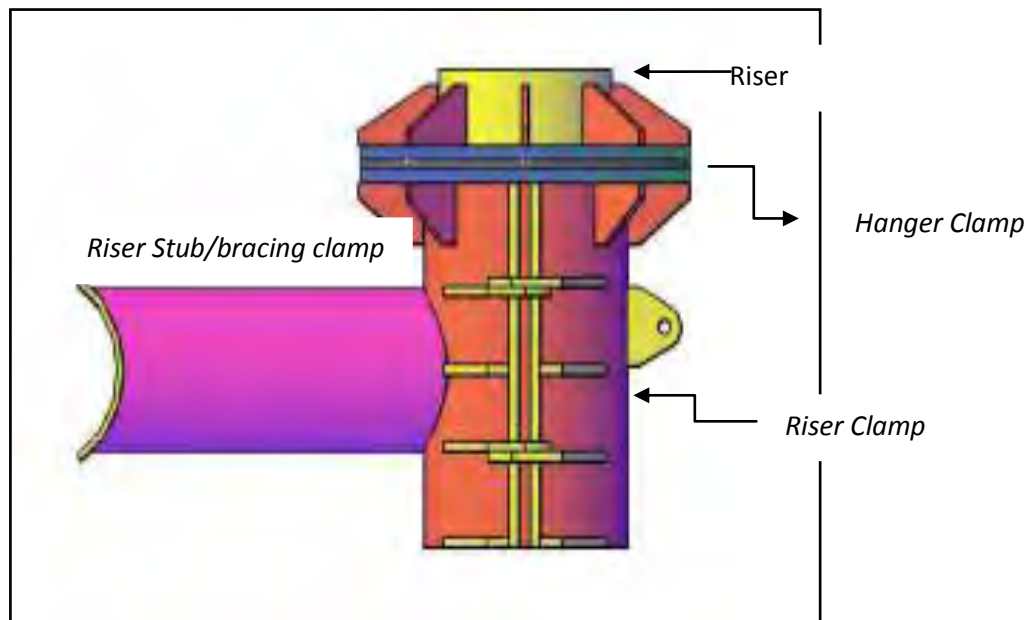
Tabel 4.11 Tegangan Maksimum pada *Riser*

Pembenaran	Deskripsi	Node	Stress (MPa)	Allowable Stress (MPa)	Kombinasi beban
<i>Hydrotest</i>	<i>Maximum Hoop Stress</i>	A03	176	324	Max Pressure
	<i>Maximum Longitudinal Stress</i>	A09	149	-	Fungsional. + arah 270°
	<i>Maximum Combined Stress</i>	A09	177	345,6	Fungsional. + arah 270°
Operasi (Ekstrem)	<i>Maximum Hoop Stress</i>	A03	141	259,2	Max Pressure
	<i>Maximum Longitudinal Stress</i>	A09	200	288	Fungsional + arah 90°

Pembenanan	Deskripsi	Node	Stress (MPa)	Allowable Stress (MPa)	Kombinasi beban
	Maximum Combined Stress	A09	228	324	Fungsional + arah 90°

4.2.3 Analisa Hasil Pemodelan *Riser Clamp* menggunakan *Software Ansys*

Analisa pemodelan menggunakan *software Ansys* untuk mengetahui tegangan maksimum yang terjadi pada *guide riser clamp* serta pada *bracing clamp*. *Riser clamp* yang dianalisa hanya *riser clamp* tipe *hanger weight clamp* atau pemodelan pada *software Autopipe* pada titik A04. *Input* untuk analisa pada *software Ansys* ini diperoleh dari *output* pada *software Autopipe* yaitu berupa gaya dan momen maksimum. Analisa tegangan maksimumnya hanya pada kondisi operasi. Untuk kondisi *hydrotest* tidak dimodelkan karena perhitungan pada kondisi *hydrotest* sifatnya hanya pengujian diawal saja. Selain gaya dan momen, inputan yang lain yaitu beban *bolt*. Beban pada *bolt* diperlukan karena untuk mengikat riser clamp memerlukan *bolt*. Total *bolt* pada clamp berjumlah 8 dengan total beban sebesar 122,4 KN seperti pada Gambar 4.6. Model *hanger weight clamp* sebelum dinalisa di *Ansys*, pemodelannya dilakukan menggunakan *Autocad 3D* yang nantinya di *import* ke dalam bentuk *IGES (.igs)* supaya bisa di analisa di *Ansys* ditunjukkan pada Gambar 4.5.

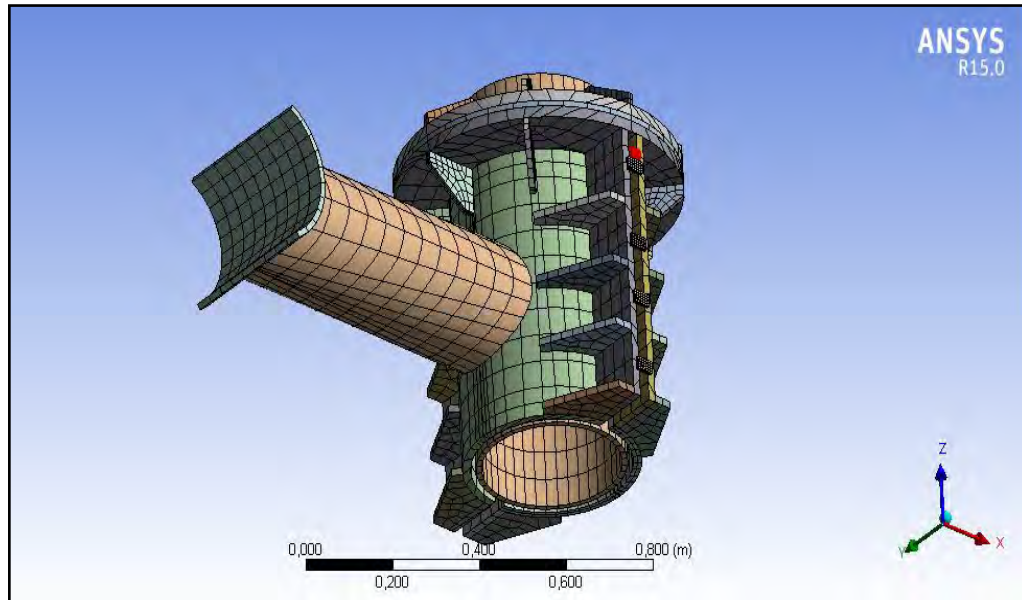


Gambar 4.5 Model Riser Clamp pada Autocad 3D

4.2.3.1 *Meshing Sensitivity Analysis*

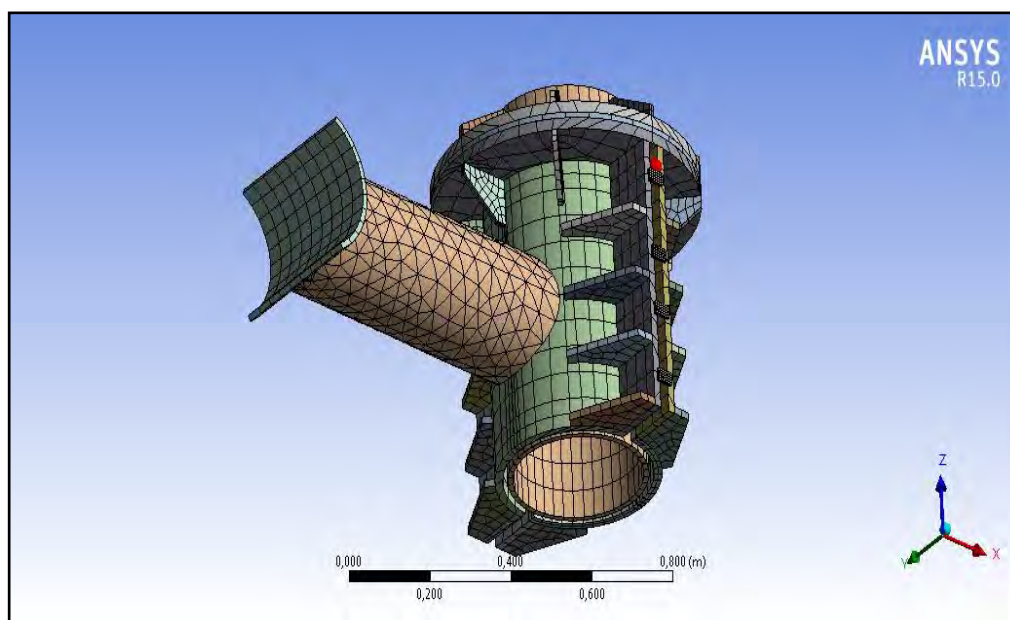
Sebelum melakukan pembebanan pada Ansys, hal yang dilakukan terlebih dahulu yaitu *meshing* struktur. *Meshing* yaitu membagi sebuah objek atau struktur menjadi bagian kecil-kecil. Untuk menentukan ukuran *meshing*, terlebih dahulu dilakukan *mesh sensitivity analysis*. *Mesh sensitivity analysis* dilakukan untuk mendapatkan ukuran *meshing* yang tepat sehingga *output* yang dihasilkan hasilnya tidak banyak perubahan. *Mesh sensitivity analysis* dalam pemodelan *riser clamp* ini dilakukan dengan tiga (3) variasi meshing yaitu :

- a. Meshing *default* dari Ansys 15.0 ditunjukkan pada Gambar 4.6 dibawah ini.



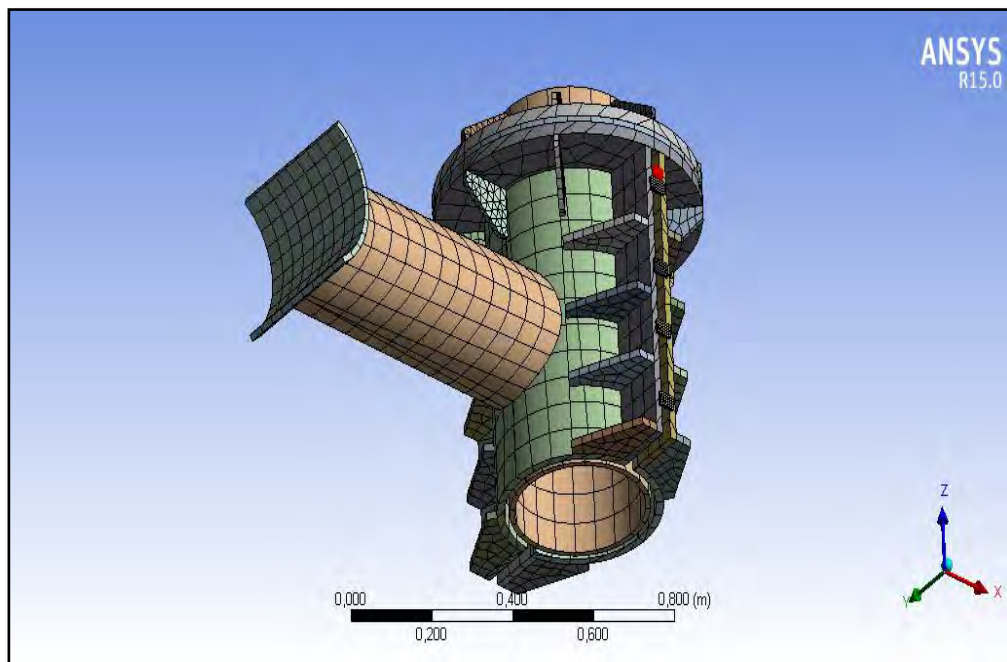
Gambar 4.6 *Meshing Default* dari Ansys 15.0

b. *Meshing* dengan *size soft* ditunjukkan pada Gambar 4.7 dibawah ini.



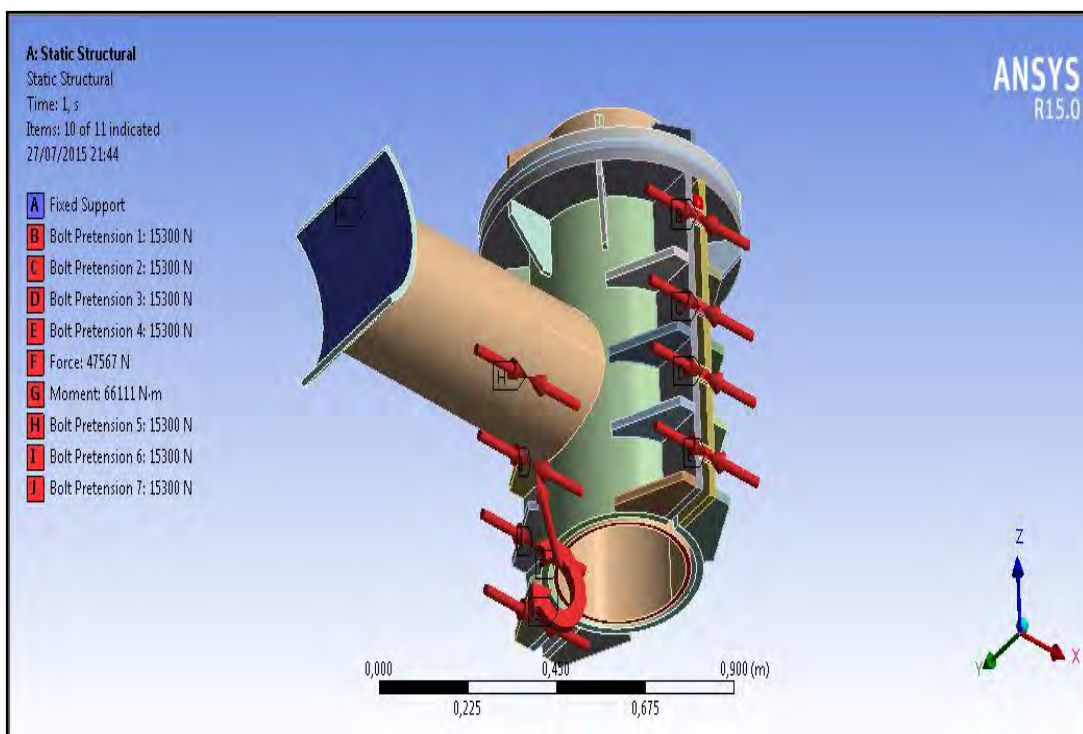
Gambar 4.7 *Meshing* dengan *Size Soft*

c. *Meshing* dengan *size rough* ditunjukkan pada Gambar 4.8 dibawah ini.



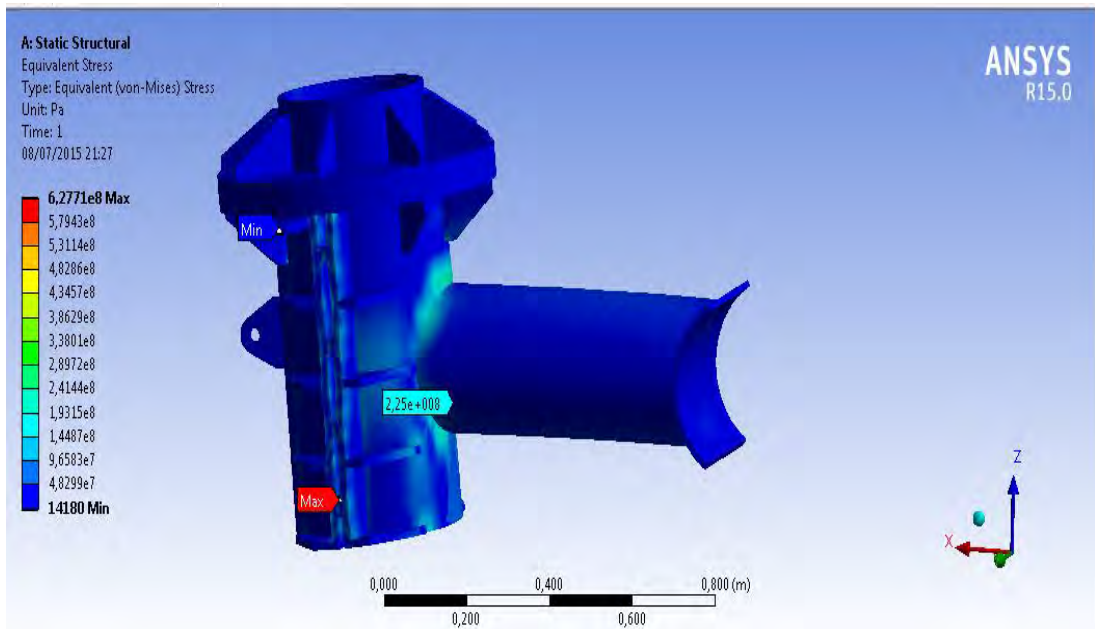
Gambar 4.8 Meshing dengan Size Rough

Berikut pembebanan pada *riser clamp* menggunakan software Ansys 15 pada Gambar 4.9.



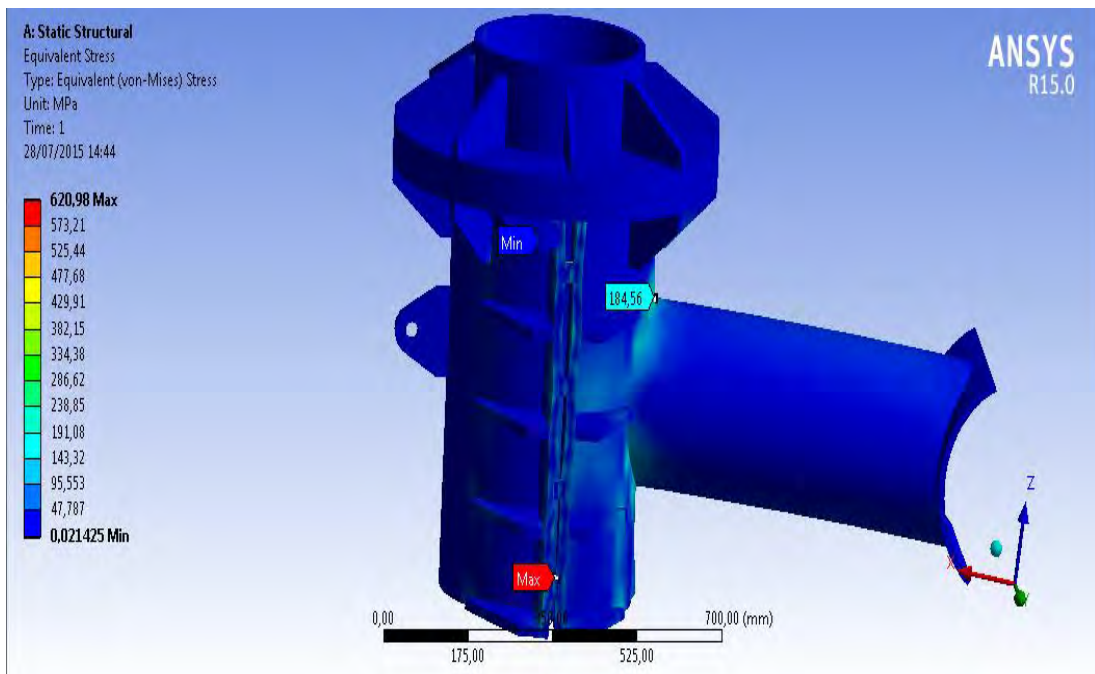
Gambar 4.9 Model *Riser Clamp* serta Pembebananya pada Ansys 15

Berikut ini Gambar 4.10 hasil tegangan *von misses* yang terjadi pada *riser clamp* dengan *meshing default* dari Ansys 15.



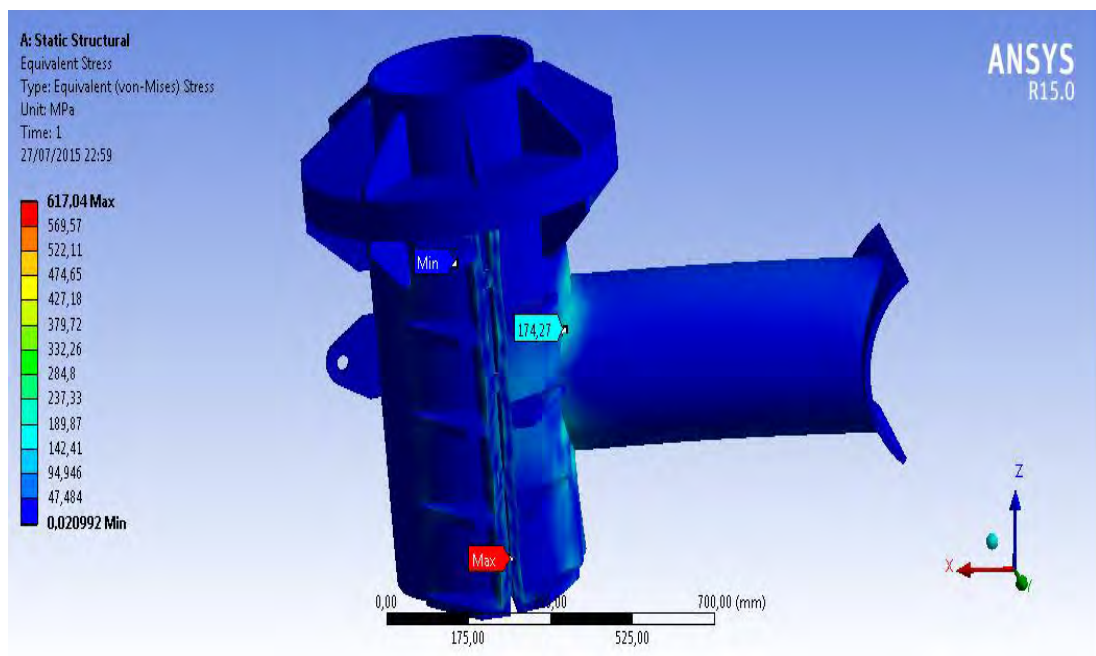
Gambar 4.10 Hasil Tegangan *Von Misses Riser Clamp* dengan *Meshing Default*

Berikut ini Gambar 4.11 hasil tegangan *von misses* yang terjadi pada *riser clamp* dengan *meshing soft* dari Ansys 15.



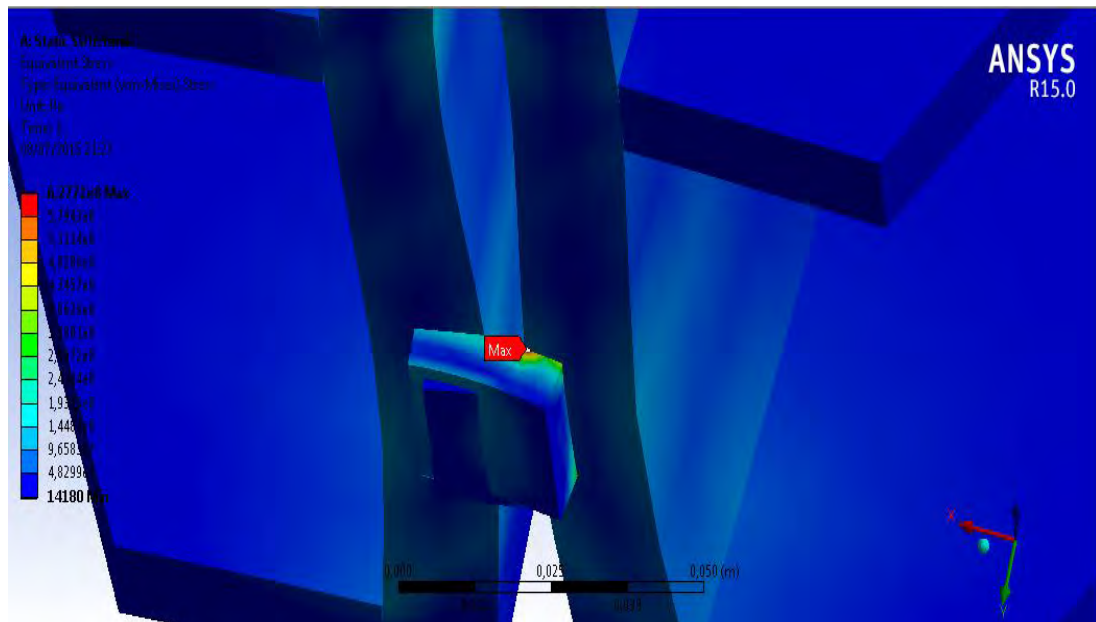
Gambar 4.11 Hasil Tegangan *Von Misses Riser Clamp* dengan *Meshing Soft*

Berikut ini Gambar 4.11 hasil tegangan *von misses* yang terjadi pada *riser clamp* dengan *meshing rough* dari Ansys 15.



Gambar 4.12 Hasil Tegangan *Von Misses Riser Clamp* dengan *Meshing Rough*

Dari Ketiga Gambar diatas, titik maksimum pada riser clamp lokasi titiknya sama yaitu pada *bolt* yang bawah. Berikut Gambar 4.13 detail lokasi tegangan maksimumnya.



Gambar 4.13 Detail lokasi Tegangan *Von Misses* Maksimum pada *Riser Clamp*

Berikut ini Tabel 4.12 hasil dari tegangan maksimum berdasarkan variasi *meshing*

Tabel 4.12 Hasil Tegangan *Von Misses* Maksimum

Tipe <i>Meshing</i>	Tegangan Maksimum (MPa)	
	<i>Riser Clamp</i>	<i>Bracing Clamp</i>
<i>Default</i>	627,71	225
<i>Soft</i>	620,98	184,56
<i>Rough</i>	617,04	174,27

Dari Tabel diatas, tegangan *Von Misses* maksimum yang terjadi yaitu pada kondisi meshing default dari Ansys. Nilai tegangan *Von Misses* maksimum pada *Riser Clamp* yaitu sebesar 627,71 MPa dengan SMYS 720 MPa maka nilai *Unity Check* (UC) yang terjadi sebesar 0,872. Sedangkan untuk *bracing clamp* tegangan *Von Misses* maksimum yang terjadi yaitu sebesar 225 MPa maka maka nilai *Unity Check* (UC) yang terjadi sebesar 0,313. Dari nilai *Unity Check* (UC) yang terjadi pada *riser clamp* serta pada *bracing clamp* yang nilainya masih dibawah 1(satu), sehingga dapat disimpulkan bahwa *clamp* tersebut cukup aman untuk beroperasi.

4.3 Verifikasi dan Validasi

Verifikasi dan validasi dilakukan untuk mencocokan hasil yang diperoleh dengan data sesungguhnya. Hasil perhitungan untuk desain *riser clamp* pada data proyek dilakukan dengan metode *in house validated* menggunakan *software* MATHCAD. Maka validasi dilakukan untuk mencocokkan data perhitungan manual dengan *software* ANSYS. Berikut Tabel 4.13 verifikasi pemodelannya.

Tabel 4.13 Verifikasi Hasil Pemodelan dengan Data Proyek

Pemodelan ANSYS		UC pemodelan ANSYS	UC proyek	Eror
Tegangan Maksimum Guide Clamp (MPa)	628 MPa	0,872	0,802	0,08 %
Tegangan Maksimum <i>bracing Clamp</i> (MPa)	225 Mpa	0,313	0,367	0,14 %

BAB V

PENUTUP

5.1 Kesimpulan

Berikut ini kesimpulan dari hasil penelitian tugas akhir antara lain :

1. Analisa beban maksimum pada riser clamp dengan beban gabungan antara *pressure* dan beban lingkungan dari 4 arah yaitu 0° , 90° , 180° , dan 270° untuk kondisi *hydrotest* dan operasi diantaranya :
 - a. *Hanger Weight Clamp* beban maksimum pada kondisi *hydrotest* yaitu $F_x = -7446 \text{ N}$, $M_x = 35651 \text{ Nm}$, $F_y = 10793 \text{ N}$, $M_y = -663 \text{ Nm}$, $F_z = 20854 \text{ N}$, dan $M_z = -15756 \text{ Nm}$. Sedangkan untuk kondisi operasi yaitu $F_x = -27144 \text{ N}$, $M_x = 9738 \text{ Nm}$, $F_y = -37785 \text{ N}$, $M_y = -194 \text{ Nm}$, $F_z = -9906 \text{ N}$, dan $M_z = 65390$
 - b. *Riser guide clamp1* beban maksimum pada kondisi *hydrotest* yaitu $F_x = -2115 \text{ N}$, $M_x = -12204 \text{ Nm}$, $F_y = 6380 \text{ N}$, $M_y = -663 \text{ Nm}$, $F_z = -2480 \text{ N}$, dan $M_z = 6588 \text{ Nm}$. Sedangkan untuk kondisi operasi yaitu $F_x = 12447 \text{ N}$, $M_x = 10672 \text{ Nm}$, $F_y = -6801 \text{ N}$, $M_y = -194 \text{ Nm}$, $F_z = 8156 \text{ N}$ dan $M_z = -32268 \text{ Nm}$
 - c. *Riser guide clamp2* beban maksimum pada kondisi *hydrotest* yaitu $F_x = -3120 \text{ N}$, $M_x = -15299 \text{ Nm}$, $F_y = 4200 \text{ N}$, $M_y = -663 \text{ Nm}$, $F_z = 1167 \text{ N}$, dan $M_z = 7952 \text{ Nm}$. Sedangkan untuk kondisi operasi yaitu $F_x = -7503 \text{ N}$, $M_x = 7630 \text{ Nm}$, $F_y = 5228 \text{ N}$, $M_y = -194 \text{ Nm}$, $F_z = 4727 \text{ N}$, dan $M_z = 13336 \text{ Nm}$
2. Analisa tegangan *VonMisses* maksimum pada *Riser Clamp* dilakukan hanya pada salah satu *Riser Clamp* yaitu pada *Hanger Weight Clamp*. Beban maksimum yang dimasukkan untuk analisa tegangan ini hanya pada saat kondisi operasi. Hasil tegangan *VonMisses* maksimum pada *Riser Clamp* yaitu sebesar 627,71 MPa dengan SMYS 720 MPa maka nilai *Unity Check* (UC) yang terjadi sebesar 0,872.
3. Analisa tegangan *VonMisses* maksimum *bracing clampnya* yaitu sebesar 225,4 MPa maka maka nilai *Unity Check* (UC) yang terjadi sebesar 0,313.

Dari nilai *Unity Check* (UC) yang terjadi pada *riser clamp* serta pada *bracing clamp* yang nilainya masih dibawah 1(satu), sehingga dapat disimpulkan bahwa *clamp* tersebut cukup aman untuk beroperasi.

5.2 Saran

Saran yang dapat diberikan untuk penelitian lebih lanjut mengenai tugas akhir ini adalah sebagai berikut :

1. Perlu penilitian lebih lanjut mengenai kekuatan struktur dari *riser clamp* sampai kondisi *fatigue*.
2. Perlu dilakukan pemodelan struktur *riser clamp* dengan tipe yang lain untuk membandingkan kekutan dari *riser clamp* tersebut.
3. Perlu dilakukan analisa mengenai korosi pada *riser clamp* tersebut.

DAFTAR PUSTAKA

- American Society of Mechanical Engineers (ASME).B31.4.2012.*Pipeline Transportation Systems for liquid Hydrocarbon and other liquids.* USA.
- American Petroleum Institute. 2000. *Recommended Practice for Planning, Designing and Constructing Fixed Offshore Platform – Working Stress Design.* Recommended Practice 2A – WSD
- Dawson, Thomas H.,1983.*Offshore Structural Engineering.* Univercity Of Newfoundland
- Guo, B., Shanhong S., Jacob C., Ali G.2005. *Offshore Pipelines.* Gulf Profesional Publishing, Burlington. USA.
- Kenny, J. P. 1993. *Structural Analysis of Pipeline Spans.* HSE Books. USA
- Mikael et al., 2005. *Design And Installation of Marine Pipeline.* Blackwell. Science,Oxford, UK.
- Pertamina Hulu Energi Offshore North West Java (PHE ONWJ). 2014. *Desain Riser dan Spool di ULA Platform.*
- Popov,E.P.1978.*Mechanism of Material,* Edisi ke-2. Prentice Hall, inc, Englewood Cliff, New Jersey.USA.
- Radiansah, A.F.2008.*Analisa Tegangan Riser Clamp pada Struktur Jacket ZUA,* Tugas Akhir: Jurusan Teknik Kelautan.
- Shell. 1999. *Manual Resir Design.* Shell International Oil Product B.V and Shell International Exploration and Production B.V. The Hague, Netherland.
- Soegion. 2007. *Pipa Laut.* Surabaya : Airlangga University Press.
- Triatmodjo, B., 1999. *Teknik Pantai.* Beta Offset, Yogyakarta

LAMPIRAN A
INPUT AUTOPIPE

coba
07/28/2015 RISER
BENTLEY
07:24 AM
AutoPIPE Nuclear 9.6.0.15

*
*** **
** ** *****
** ** ** ** ** **** * ***** * *****
***** * ** ** ** ** ** ** ** ** **
** ** ** ** ** ** ** ** ** **
** ** ***** * ** ***** * ** ***** * *****

Pipe Stress Analysis and Design Program

Version: 09.06.00.15

Edition: Nuclear

Developed and Maintained by

BENTLEY SYSTEMS, INCORPORATED
1600 Riviera Ave., Suite 300
Walnut Creek, CA 94596

coba
07/28/2015 RISER
BENTLEY
07:24 AM
AutoPIPE Nuclear 9.6.0.15

**
** AUTOPIPE SYSTEM INFORMATION **
**

SYSTEM NAME : OPERASI

PROJECT ID : RISER

PREPARED BY : _____
ITA

CHECKED BY : _____

1ST APPROVER : _____
PAK HANDAYANU

2ND APPROVER : _____
PAK IMAM

PIPING CODE : B31.4 Offshore

YEAR : 2006

VERTICAL AXIS : Y

AMBIENT TEMPERATURE : 22.2 deg C

COMPONENT LIBRARY : AUTOPIPE

MATERIAL LIBRARY : B314-12

MODEL REVISION NUMBER : 222

C O M P O N E N T D A T A L I S T I N G

*** SEGMENT A

From A00 to A01, DY= -1500.00 mm
Run

PIPE DATA:

Pipe Id= 0, Material= 5LX-X52, Poisson= 0.300, Nom Size= Non-standard,
OD= 323.90 mm, Sch= Non-standard,
Wall Thk= 14.270 mm, Mill= 0.300 mm, Cor= 3.000 mm, Pipe Density= 7833.03
kg/m3, Pipe Unit Wgt= 1066.27 N/m,
Insul Thk= 0 mm, Cladding Thickness = 0 mm, Lining Thk= 0 mm, Long Weld
factor= 1.00, Circ Weld factor= 1.00,
Long Modulus= 0.20340 E6 N/mm2, Hoop Modulus= 0.20340 E6 N/mm2, Shear
Modulus= 0.07823 E6 N/mm2,
Syc= 358.5 N/mm2

OPERATING DATA:

P1= 1.1000 N/mm2, T1= 44.40 deg C, Exp1= 0.26728 mm/m, E1= 0.20183 E6
N/mm2, Sy1= 358.53 N/mm2

POINT DATA:

A00, Coordinates, X= 0.00 mm, Y= 0.00 mm, Z= 0.00 mm

SUPPORT DATA:

A00, Anchor, Tag No.= A, KTX= Rigid, KTY= Rigid, KTZ= Rigid, KRX= Rigid,
KRY= Rigid, KRZ= Rigid,
Hanger design release= Y/YY

From A01 to A02, DX= 837.33 mm, DY= -366.44 mm, L= 914.00 mm
Bend

COMPONENT DATA (Bend, TIP= A01, Near= A01 N, Far= A01 F):
Long Elbow, Radius= 457.20 mm, Bend angle= 66.36 deg, End flanges= 0,
Flex= Auto, SIFI= 2.14, SIFO= 1.79

POINT DATA:

A01, Coordinates, X= 0.00 mm, Y= -1500.00 mm, Z= 0.00 mm
A01 N, Coordinates, X= 0.00 mm, Y= -1201.02 mm, Z= 0.00 mm
A01 F, Coordinates, X= 273.90 mm, Y= -1619.87 mm, Z= 0.00 mm

From A02 to A03, DY= -914.00 mm
Bend

COMPONENT DATA (Bend, TIP= A02, Near= A02 N, Mid= A02 M, Far= A02 F):
Long Elbow, Radius= 457.20 mm, Bend angle= 66.36 deg, Mid point at 50.00
percent, End flanges= 0, Flex= Auto,
SIFI= 2.14, SIFO= 1.79

POINT DATA:

A02, Coordinates, X= 837.33 mm, Y= -1866.44 mm, Z= 0.00 mm
A02 N, Coordinates, X= 563.43 mm, Y= -1746.57 mm, Z= 0.00 mm
A02 M, Coordinates, X= 762.78 mm, Y= -1915.19 mm, Z= 0.00 mm
A02 F, Coordinates, X= 837.33 mm, Y= -2165.42 mm, Z= 0.00 mm

From A03 to A04, DY= -610.00 mm
Run

POINT DATA:
A03, Coordinates, X= 837.33 mm, Y= -2780.44 mm, Z= 0.00 mm
A03, Flange= WELDNECK, Rating= 900, Flange Weight= 168.74 kg, Bolt/Nut
Weight= 84.37 kg, End type= Weld neck,
SIF= 1.00, Perform ANSI check= No

C O M P O N E N T D A T A L I S T I N G

From A04 to SWL, DY= -3048.00 mm
Run

POINT DATA:
A04, Coordinates, X= 837.33 mm, Y= -3390.44 mm, Z= 0.00 mm
SWL, Coordinates, X= 837.33 mm, Y= -6438.44 mm, Z= 0.00 mm

SUPPORT DATA:
A04, Guide, Support Id= 10, Connected to Ground, Tag No.= CLAMP 1, Weight
= 0.000 kg, Stiffness= RIGID,
Gap -Z= 50.00 mm, Gap +Z= 0.00 mm, Gap -X= 1.00 mm, Gap +X= 5.00 mm,
Friction= 0.20,
Gaps setting= Weightless
A04, Line Stop, Support Id= A04 1, Connected to Ground, Tag No.= CLAMP
1, Weight = 0.000 kg,
Stiffness= RIGID, Gap-Back= 10000.00 mm, Gap-Forward= 0.00 mm, Gaps
setting= Weightless

*** SEGMENT B

From SWL to A05, DY= -3600.00 mm
Junc

PIPE DATA:
Pipe Id= 0, Nom Size= Non-standard, Sch= Non-standard, Mill= 0.300 mm,
Cor= 3.000 mm,
Pipe Density= 7833.03 kg/m³, Pipe Unit Wgt= 1066.27 N/m

POINT DATA:
SWL, Coordinates, X= 837.33 mm, Y= -6438.44 mm, Z= 0.00 mm

From A05 to A06, DY= -1277.00 mm
Run

POINT DATA:
A05, Coordinates, X= 837.33 mm, Y= -10038.44 mm, Z= 0.00 mm

From A06 to A07, DY= -4572.00 mm
Run

POINT DATA:
A06, Coordinates, X= 837.33 mm, Y= -11315.44 mm, Z= 0.00 mm

SUPPORT DATA:
A06, Guide, Support Id= 11, Connected to Ground, Tag No.= CLAMP 2, Weight = 0.000 kg, Stiffness= RIGID,
Gap -Z= 100.00 mm, Gap +Z= 0.00 mm, Gap -X= 50.00 mm, Gap +X= 0.00 mm,
Friction= 0.20,
Gaps setting= Weightless

From A07 to A08, DY= -4572.00 mm
Run

POINT DATA:
A07, Coordinates, X= 837.33 mm, Y= -15887.44 mm, Z= 0.00 mm

From A08 to A09, DY= -4339.00 mm
Run

POINT DATA:

C O M P O N E N T D A T A L I S T I N G

A08, Coordinates, X= 837.33 mm, Y= -20459.44 mm, Z= 0.00 mm

SUPPORT DATA:
A08, Guide, Support Id= A08 1, Connected to Ground, Tag No.= CLAMP 3,
Weight = 0.000 kg, Stiffness= RIGID,
Gap -Z= 100.00 mm, Gap +Z= 0.00 mm, Gap -X= 50.00 mm, Gap +X= 0.00 mm,
Friction= 0.20,
Gaps setting= Weightless

From A09 to A10, DY= -4339.00 mm
Run

POINT DATA:
A09, Coordinates, X= 837.33 mm, Y= -24798.44 mm, Z= 0.00 mm

From A10 to A11, DX= 2438.68 mm, DY= -213.37 mm, L= 2448.00 mm
Bend

COMPONENT DATA (Bend, TIP= A10, Near= A10 N, Far= A10 F):
Long Elbow, Radius= 457.20 mm, Bend angle= 85.00 deg, End flanges= 0,
Flex= Auto, SIFI= 2.14, SIFO= 1.79

POINT DATA:
A10, Coordinates, X= 837.33 mm, Y= -29137.44 mm, Z= 0.00 mm
A10 N, Coordinates, X= 837.33 mm, Y= -28718.49 mm, Z= 0.00 mm
A10 F, Coordinates, X= 1254.68 mm, Y= -29173.96 mm, Z= 0.00 mm

From A11 to A12, DX= 6973.36 mm, DY= -610.13 mm, L= 7000.00 mm
Run

POINT DATA:
A11, Coordinates, X= 3276.01 mm, Y= -29350.81 mm, Z= 0.00 mm
A11, Flange= WELDNECK, Rating= 900, Flange Weight= 168.74 kg, Bolt/Nut
Weight= 84.37 kg, End type= Weld neck,
SIF= 1.00, Perform ANSI check= No

SOIL DATA:
Soil Id= SOIL, 6 point(s) at 1000.00 mm
Horz K1= 0.926 N/mm/mm, Horz P1= 5501.726 N/m, Horz K2= 0.000 N/mm/mm,
Long K1= 0.677 N/mm/mm,
Long P1= 6209.731 N/m, Long k2= 0.000 N/mm/mm, Vert Up K1= 0.127 N/mm/mm,
Vert Up P1= 3411.433 N/m,
Vert Up K2= 0.000 N/mm/mm, Vert Dn K1= 0.323 N/mm/mm, Vert Dn P1=
13080.343 N/m, Vert Dn K2= 0.000 N/mm/mm

From A12 to A13, DX= 6973.36 mm, DY= -610.13 mm, L= 7000.00 mm
Run

POINT DATA:
A12, Coordinates, X= 10249.37 mm, Y= -29960.94 mm, Z= 0.00 mm

SOIL DATA:
Soil Id= SOIL, 6 point(s) at 1000.00 mm

From A13 to A14, DX= 6973.36 mm, DY= -610.13 mm, L= 7000.00 mm
Run

POINT DATA:
A13, Coordinates, X= 17222.73 mm, Y= -30571.07 mm, Z= 0.00 mm

SOIL DATA:
Soil Id= SOIL, 6 point(s) at 1000.00 mm

C O M P O N E N T D A T A L I S T I N G

From A14 to A15, DX= 6973.36 mm, DY= -610.13 mm, L= 7000.00 mm
Run

POINT DATA:
A14, Coordinates, X= 24196.09 mm, Y= -31181.20 mm, Z= 0.00 mm

SOIL DATA:
Soil Id= SOIL, 6 point(s) at 1000.00 mm

From A15 to A16, DX= 6973.36 mm, DY= -610.13 mm, L= 7000.00 mm
Run

POINT DATA:
A15, Coordinates, X= 31169.45 mm, Y= -31791.33 mm, Z= 0.00 mm

SOIL DATA:
Soil Id= SOIL, 6 point(s) at 1000.00 mm

From A16 to A17, DX= 6973.36 mm, DY= -610.13 mm, L= 7000.00 mm
Run

POINT DATA:

A16, Coordinates, X= 38142.81 mm, Y= -32401.46 mm, Z= 0.00 mm
A16, Flange= WELDNECK, Rating= 900, Flange Weight= 168.74 kg, Bolt/Nut
Weight= 84.37 kg, End type= Weld neck,
SIF= 1.00, Perform ANSI check= No

SOIL DATA:

Soil Id= SOIL, 6 point(s) at 1000.00 mm

From A17 to A18, DX= 6973.36 mm, DY= -610.13 mm, L= 7000.00 mm
Run

POINT DATA:

A17, Coordinates, X= 45116.17 mm, Y= -33011.59 mm, Z= 0.00 mm

SOIL DATA:

Soil Id= SOIL, 6 point(s) at 1000.00 mm

From A18 to A19, DX= 6973.36 mm, DY= -610.13 mm, L= 7000.00 mm
Run

POINT DATA:

A18, Coordinates, X= 52089.53 mm, Y= -33621.72 mm, Z= 0.00 mm

SOIL DATA:

Soil Id= SOIL, 6 point(s) at 1000.00 mm

From A19 to A20, DX= 6973.36 mm, DY= -610.13 mm, L= 7000.00 mm
Run

POINT DATA:

A19, Coordinates, X= 59062.89 mm, Y= -34231.85 mm, Z= 0.00 mm

SOIL DATA:

Soil Id= SOIL, 6 point(s) at 1000.00 mm

C O M P O N E N T D A T A L I S T I N G

From A20 to A21, DX= 6973.36 mm, DY= -610.13 mm, L= 7000.00 mm
Run

POINT DATA:

A20, Coordinates, X= 66036.25 mm, Y= -34841.98 mm, Z= 0.00 mm
A21, Coordinates, X= 73009.62 mm, Y= -35452.11 mm, Z= 0.00 mm

SUPPORT DATA:
A21, Anchor, Tag No.= 1, KTX= Rigid, KTY= Rigid, KTZ= Rigid, KRX= Rigid,
KRY= Rigid, KRZ= Rigid,
Hanger design release= Z/ZZ

SOIL DATA:

Soil Id= SOIL, 6 point(s) at 1000.00 mm

Soil Id= SOIL, End at A21

Number of points in the system (Pipe + Frame + Soil): 34 + 0 + 60 = 94

Weight of Empty Pipes + Weight of Contents = Total Weight of System
11832.1 kg + 0.0 kg = 11832.1 kg

C O O R D I N A T E S D A T A L I S T I N G

POINT NAME	X	Y	Z

*** SEGMENT A			
A00	0.00	0.00	0.00
A01 N	0.00	-1201.02	0.00
A01	0.00	-1500.00	0.00
A01 F	273.90	-1619.87	0.00
A02 N	563.43	-1746.57	0.00
A02	837.33	-1866.44	0.00
A02 M	762.78	-1915.19	0.00
A02 F	837.33	-2165.42	0.00
A03	837.33	-2780.44	0.00
A04	837.33	-3390.44	0.00
SWL	837.33	-6438.44	0.00
*** SEGMENT B			
SWL	837.33	-6438.44	0.00
A05	837.33	-10038.44	0.00
A06	837.33	-11315.44	0.00
A07	837.33	-15887.44	0.00
A08	837.33	-20459.44	0.00
A09	837.33	-24798.44	0.00
A10 N	837.33	-28718.49	0.00
A10	837.33	-29137.44	0.00
A10 F	1254.68	-29173.96	0.00
A11	3276.01	-29350.81	0.00
A12	10249.37	-29960.94	0.00
A13	17222.73	-30571.07	0.00
A14	24196.09	-31181.20	0.00
A15	31169.45	-31791.33	0.00
A16	38142.81	-32401.46	0.00
A17	45116.17	-33011.59	0.00
A18	52089.53	-33621.72	0.00
A19	59062.89	-34231.85	0.00
A20	66036.25	-34841.98	0.00
A21	73009.62	-35452.11	0.00

S E G M E N T D A T A L I S T I N G

Segment Name	First Node	Last Node	Line Number	Apply Wind	Apply Bowing	Apply Buoyancy
A	A00	SWL		No	No	No
B	SWL	A21		No	No	Yes

M A T E R I A L D A T A L I S T I N G

Material Expans.	Composition Name	Pipe ID	Density kg/m3	Pois. Ratio	Temper. deg C	Axial	Hoop	Shear	Modulus E6 N/mm2	mm/m
5LX-X52	0	7850.0	0.30	22.2	0.20340	0.20340	0.07823	44.4	0.20183	0.2673

M A T E R I A L A L L O W A B L E D A T A L I S T I N G

Material Name	Pipe ID	Temper. deg C	Yield N/mm2
5LX-X52	0	22.2	360

OPERATING TEMPERATURE AND PRESSURE DATA
STRESSES IN N/mm²

POINT NAME	PRESS. CASE	TEMPER. N/mm ²	EXPAN. deg C	MODULUS E6 N/mm	YIELD STRESS
A00	T1	1.1000	44.40	0.267	0.20183 358.53
SWL	Same as previous point.				
SWL	T1	1.1000	44.40	0.267	0.20183 358.53
A21	Same as previous point.				

SOIL DATA LISTING

SOIL STIFFNESS PROPERTIES (SOIL)

Dirn	Auto	Initial K (N/mm/mm)	Yield P (N/m)	Final K (N/mm/mm)	Yield disp (mm)
------	------	----------------------	----------------	--------------------	------------------

Low Stiffness

Horiz. Y	0.926	Y	5501.726	0.000	5.9437
Long. Y	0.479	Y	6209.731	0.000	12.9560
Vert. Up Y	0.095	Y	3411.433	0.000	35.8100
Vert. Dn Y	0.269	Y	13080.343	0.000	48.5607

High Stiffness

Horiz. Y	0.926	Y	5501.726	0.000	5.9437
Long. Y	1.150	Y	6209.731	0.000	5.3983
Vert. Up Y	0.191	Y	3411.433	0.000	17.9050

Vert. Dn Y	0.404 Y	13080.343	0.000	32.3900
------------	---------	-----------	-------	---------

Average Stiffness

Horiz. Y	0.926 Y	5501.726	0.000	5.9437
Long. Y	0.677 Y	6209.731	0.000	9.1772
Vert. Up Y	0.127 Y	3411.433	0.000	26.8575
Vert. Dn Y	0.323 Y	13080.343	0.000	40.4754

SOIL PARAMETERS (SOIL)

Calculation Method : AutoPIPE
Soil Type : Soft Clay
Pipe Direction : Horizontal

Parameters	Low	High
Average		
-----	-----	-----
Outside Diameter, D [mm]	323.90	
Depth to Centerline, H [mm]	341.00	
Effective Unit Wt. above pipe [kg/m3]	1601.85	1601.85
1601.85		
Effective Unit Wt. below pipe [kg/m3]	815.70	815.70
815.70		
Dry Unit Wt. above pipe [kg/m3]	1601.85	1601.85
1601.85		
Soil Cohesion, c [N/m2]	6000.00	6000.00
6000.00		
Friction Angle, phi [deg]	0.00	0.00
0.00		
Clay undrained shear strength, Su [N/m2]	6000.00	6000.00
6000.00		
Horizontal Stiffness Parameter, ki [lb/in3]	10.00	10.00
10.00		
Longitudinal Yield Displacement, y1L [mm]	5.40	12.96
9.18		
Vertical Up Yield Displacement, ylu [mm]	17.90	35.81
26.86		
Vertical Dn Yield Displacement, yld [mm]	32.39	48.56
40.48		

Computed soil parameters (AutoPIPE Method) :

Longitudinal	Adhesion alpha	1.02	1.02
1.02	Pipe/Soil delta=f*phi [deg]	0.00	0.00
0.00			
Horizontal	Rc	2.83	2.83
2.83			
0.00	Rs	0.00	0.00
Vertical Up	Fc	1.02	1.02
1.02			
0.37	Fq	0.37	0.37
1087.85	Soil Weight on top Ws [N/m]	1087.85	1087.85
Vertical Down	Nc (Saturated if phi=0)	6.73	6.73
6.73			

VIRTUAL ANCHOR DATA (SOIL)

Pipe Identifier	:	0
Point name for temp. data	:	A01 N
Operating Case	:	OP1
Thermal Expansion	:	0.267 mm/m
Temperature Change	:	23.300 deg C
Operating Pressure	:	1.100 N/mm ²
Virtual Anchor lengths	Lm :	63717.574 mm
	La :	127435.15 mm
	Lb :	5627.165 mm

LOADS SUMMARY DATA LISTING

WAVE LOAD : WAVE 1

Wave Type : Stokes Load case : User 1

Water - Elevation : -1890.00 mm
Depth : 23523.00 mm
Density : 1025.00 kg/m³

Wave - Height : 8625.84 mm
Period : 9.40 sec
Phase : 0.00 deg

Drag coefficient : 0.70
Inertia coefficient : 2.00

Direction - x= 1.000 y= 0.000 z= 0.000

Water Depth (mm)	Current Velocity (mm/s)	Marine Growth (mm)
0.00	1219.20	50.800
5880.75	1005.84	50.800
1761.50	792.48	50.800
7642.25	640.08	50.800
3523.00	304.80	50.800

L O A D S S U M M A R Y D A T A L I S T I N G

WAVE LOAD : WAVE 2

Wave Type : Stokes Load case : User 2

Water - Elevation : -1890.00 mm
Depth : 23523.00 mm
Density : 1025.00 kg/m³

Wave - Height : 8625.84 mm
Period : 9.40 sec
Phase : 0.00 deg

Drag coefficient : 0.70
Inertia coefficient : 2.00

Direction - X= 0.000 Y= 0.000 Z= 1.000

Water Depth (mm)	Current Velocity (mm/s)	Marine Growth (mm)
0.00	1219.20	50.80
5880.75	1005.84	50.80
11761.50	792.48	50.80
17642.25	640.08	50.80
23253.00	304.80	50.80

L O A D S S U M M A R Y D A T A L I S T I N G

WAVE LOAD : WAVE 3

Wave Type : Stokes Load case : User 3

Water - Elevation : -1890.00 mm
Depth : 23523.00 mm
Density : 1025.00 kg/m³

Wave - Height : 8625.84 mm
Period : 9.40 sec
Phase : 0.00 deg

Drag coefficient : 0.70
Inertia coefficient : 2.00

Direction - X= -1.000 Y= 0.000 Z= 0.000

Water Depth (mm)	Current Velocity (mm/s)	Marine Growth (mm)
0.00	1219.20	50.80
5880.75	1005.84	50.80
11761.50	792.48	50.80
17642.25	640.08	50.80
23523.00	304.80	50.80

L O A D S S U M M A R Y D A T A L I S T I N G

WAVE LOAD : WAVE 4

Wave Type : Stokes Load case : User 4

Water - Elevation : -1890.00 mm
Depth : 23523.00 mm
Density : 1025.00 kg/m³

Wave - Height : 8625.84 mm
Period : 9.40 sec
Phase : 0.00 deg

Drag coefficient : 0.70
Inertia coefficient : 2.00

Direction - X= 0.000 Y= 0.000 Z= -1.000

Water Depth (mm)	Current Velocity (mm/s)	Marine Growth (mm)
0.00	1219.20	50.80
5880.75	1005.84	50.80
11761.50	792.48	50.80
17642.25	640.08	50.80
23523.00	304.80	50.80

S U P P O R T D A T A L I S T I N G

Point Support GapSet	Support Preload	Conn.to Ld.Var	Weight Size	Stiff. Figure	Gap 1 (mm)	Gap 2 (mm)	Fric. Fact.	
Name /#hgr	Type (N)	ID	/Dir	(kg)				
<hr/>								
<hr/>								
Tag No.: CLAMP 1								
A04	Guide-V	10	Ground	0.000	Rigid	Attachment ID: <None>		
Weightless								
					50.0	0.0	0.20	
Guide-H 10								
			Ground	0.000	Rigid	1.0	5.0	0.20
Weightless								
Gap Dir.: (Gap1_V=-Z, Gap2_V=+Z, Gap1_H=-X, Gap2_H=+X)								
<hr/>								
Tag No.: CLAMP 1								
A04	Linestop	A04	1	Ground	0.000	Rigid	Attachment ID: <None>	
Weightless								
					10000.0	0.0		
<hr/>								
Tag No.: CLAMP 2								
A06	Guide-V	11	Ground	0.000	Rigid	Attachment ID: <None>		
Weightless								
					100.0	0.0	0.20	
Guide-H 11								
			Ground	0.000	Rigid	50.0	0.0	0.20
Weightless								
Gap Dir.: (Gap1_V=-Z, Gap2_V=+Z, Gap1_H=-X, Gap2_H=+X)								
<hr/>								
Tag No.: CLAMP 3								
A08	Guide-V	A08	1	Ground	0.000	Rigid	Attachment ID: <None>	
Weightless								
					100.0	0.0	0.20	
Guide-H A08 1								
			Ground	0.000	Rigid	50.0	0.0	0.20
Weightless								
Gap Dir.: (Gap1_V=-Z, Gap2_V=+Z, Gap1_H=-X, Gap2_H=+X)								

Spring Manufacturer: Anvil/Grinnell

NOTE 1: Soil supports are present but not listed.

Gap 1 : V-stop, Guide-V=down, Linestop, Incline, Tie/link=backward, Guide-H=Left

Gap 2 : V-stop, Guide-V=Up , Linestop, Incline, Tie/link=forward , Guide-H=Right

Stiffness units for rotation support: N.m/deg , all others: N/mm

B E N D D A T A L I S T I N G

Point Analysis Set	Bend Flexibility Name	Radius (mm) Type	Angle (deg)	OD (mm)	t _{nom} (mm)	Material Case	Flan^ /Cuts	SIF in	SIF out	
	A01 5.99	Elbow P1	457L	66.4	323.9	14.3 5LX-X52	0/0	2.11	1.76	1
	A02 5.99	*Elbow P1	457L	66.4	323.9	14.3 5LX-X52	0/0	2.11	1.76	1
	A10 5.99	Elbow P1	457L	85.0	323.9	14.3 5LX-X52	0/0	2.11	1.76	1

^ = Number of bend ends where either a flange or valve is within distance (L/D) x Nominal diameter, where L/D is defined under Tools > Model options > Edit
 * = Mid-point present
 L = Long radius

F L A N G E D A T A L I S T I N G

Point ANSI	FLG	D _{nom}	Flange Weight	Bolt Weight	Joint	Size /Avg.	Type /Max.
	Name No.	Type	(mm)	Rating (kg)	(kg)	Type	SIF (mm) (mm)
	Check						
	Tag No. : <None>						
	A03	1 WELDNECK	NS	900	168.74	84.37 WN	1.00
	Tag No. : 1						No
	A11	1 WELDNECK	NS	900	168.74	84.37 WN	1.00
	Tag No. : 2						No
	A16	1 WELDNECK	NS	900	168.74	84.37 WN	1.00

LAMPIRAN B
OUTPUT AUTPIPE

coba
07/28/2015 RISER
BENTLEY
07:24 AM
AutoPIPE Nuclear 9.6.0.15

*
*** **
** ** *****
** ** ** ** ** **** * ***** * *****
***** * ** ** ** ** ** ** ** ** **
** ** ** ** ** ** ** ** ** **
** ** ***** ** ***** ** *** **
*** ** ***** ** ***** ** *** **

Pipe Stress Analysis and Design Program

Version: 09.06.00.15

Edition: Nuclear

Developed and Maintained by

BENTLEY SYSTEMS, INCORPORATED
1600 Riviera Ave., Suite 300
Walnut Creek, CA 94596

coba
07/28/2015 RISER
BENTLEY
07:24 AM
AutoPIPE Nuclear 9.6.0.15

**
** AUTOPIPE SYSTEM INFORMATION **
**

SYSTEM NAME : OPERASI

PROJECT ID : RISER

PREPARED BY : _____
ITA

CHECKED BY : _____

1ST APPROVER : _____
PAK HANDAYANU

2ND APPROVER : _____
PAK IMAM

PIPING CODE : B31.4 Offshore

YEAR : 2006

VERTICAL AXIS : Y

AMBIENT TEMPERATURE : 22.2 deg C

COMPONENT LIBRARY : AUTOPIPE

MATERIAL LIBRARY : B314-12

MODEL REVISION NUMBER : 222

G L O B A L F O R C E S & M O M E N T S

Point MOMENTS name Y	Load (N.m) combination Z Result		FORCES (N) X	Y	Z	Result	X
<hr/>							
<hr/>							
	*** Segment A begin ***						
A00	Gravity{1}		31	1821	0	1821	
0	0 58 58		494	-22125	0	22130	
	Thermal 1{1}						
0	0 -9652 9652						
	Pressure 1{1}		25	-769	0	769	
0	0 -370 370						
	User 1{1}		-15921	23314	0	28231	
0	0 -14715 14715						
	User 2{1}		3604	-5846	-3551	7731	
1911	-1956 3868 4737						
	User 3{1}		-17189	-8653	0	19244	
0	0 -24898 24898						
	GP1{1}		56	1052	0	1054	
0	0 -312 312						
	GP1T1{1}		550	-21073	0	21080	
0	0 -9963 9963						
	GP1T1U1{1}		-15371	2241	0	15533	
0	0 -24678 24678						
	GP1T1U2{1}		4155	-26918	-3551	27468	
1911	-1956 -6095 6681						
	GP1T1U3{1}		-16638	-29725	0	34065	
0	0 -34861 34861						
<hr/>							
A01 N	Gravity{1}		31	541	0	541	
0	0 21 21		494	-22125	0	22130	
	Thermal 1{1}						
0	0 -10245 10245						
	Pressure 1{1}		25	-769	0	769	
0	0 -400 400						
	User 1{1}		-12232	23314	0	26328	
0	0 2150 2150						
	User 2{1}		3604	-5846	138	6869	-
98	-1956 -461 2012						
	User 3{1}		-20878	-8653	0	22600	
0	0 -1997 1997						
	GP1{1}		56	-228	0	235	
0	0 -379 379						
	GP1T1{1}		550	-22353	0	22360	
0	0 -10624 10624						
	GP1T1U1{1}		-11681	960	0	11721	
0	0 -8475 8475						
	GP1T1U2{1}		4155	-28199	138	28504	-
98	-1956 -11085 11257						
	GP1T1U3{1}		-20327	-31006	0	37075	
0	0 -12622 12622						
<hr/>							
A01 F	Gravity{1}		31	-24	0	39	
0	0 -39 39						

G L O B A L F O R C E S & M O M E N T S

Point MOMENTS name Y	Load (N.m) combination Z Result	FORCES (N)				
		X	Y	Z	Result	X

<hr/>						
	Thermal 1{1}					
0	0 -4393 4393	494	-22125	0	22130	
	Pressure 1{1}					
0	0 -200 200	25	-769	0	769	
	User 1{1}					
0	0 652 652	-11446	23828	0	26434	
	User 2{1}					
235	-1650 -338 1700	3500	-5914	1644	7066	
	User 3{1}					
0	0 9414 9414	-21869	-9301	0	23765	
	GP1{1}					
0	0 -239 239	56	-793	0	795	
	GP1T1{1}					
0	0 -4632 4632	550	-22918	0	22925	
	GP1T1U1{1}					
0	0 -3979 3979	-10895	910	0	10933	
A02 N	Gravity{1}					
0	0 13 13	31	-361	0	362	
	Thermal 1{1}					
0	0 1951 1951	494	-22125	0	22130	
	Pressure 1{1}					
0	0 20 20	25	-769	0	769	
	User 1{1}					
0	0 -4801 4801	-11433	23856	0	26455	
	User 2{1}					
499	-1047 950 1499	3451	-6026	2520	7387	
	User 3{1}					
0	0 14920 14920	-21978	-9550	0	23963	
	GP1{1}					
0	0 32 32	56	-1130	0	1131	
	GP1T1{1}					
0	0 1983 1983	550	-23255	0	23261	
	GP1T1U1{1}					
0	0 -2818 2818	-10883	601	0	10900	
	GP1T1U2{1}					
499	-1047 2933 3154	4001	-29281	2520	29660	
	GP1T1U3{1}					
0	0 16903 16903	-21428	-32805	0	39183	
A02 M	Gravity{1}					
0	105 105	31	-643	0	644	0
	Thermal 1{1}					
0	0 6278 6278	494	-22125	0	22130	
	Pressure 1{1}					
0	0 169 169	25	-769	0	769	
	User 1{1}					
0	0 -7663 7663	-11265	24055	0	26562	
	User 2{1}					
1002	-468 1584 1932	3377	-6113	3357	7749	

G L O B A L F O R C E S & M O M E N T S

Point MOMENTS name Y	Load (N.m combination Z Result	FORCES (N)				
		X	Y	Z	Result	X

0	User 3{1}	-22288	-9916	0	24394	
0	0 20593 20593	56	-1412	0	1413	
0	GP1{1}	550	-23537	0	23544	
0	0 274 274	-10715	518	0	10727	
0	GP1T1{1}	3927	-29650	3357	30097	
0	0 6552 6552	-21738	-33454	0	39896	
0	GP1T1U1{1}	0	0	0	0	
0	0 -1111 1111	0	0	0	0	
0	GP1T1U2{1}	0	0	0	0	
1002	-468 8136 8211	0	0	0	0	
0	GP1T1U3{1}	0	0	0	0	
0	0 27145 27145	0	0	0	0	
A02 F	Gravity{1}	31	-926	0	926	
0	0 153 153	494	-22125	0	22130	
0	Thermal 1{1}	25	-769	0	769	
0	0 7804 7804	-10471	24292	0	26453	
0	Pressure 1{1}	3326	-6128	4290	8187	
0	0 220 220	-23164	-10177	0	25301	
0	User 1{1}	56	-1695	0	1696	
0	0 -6746 6746	550	-23820	0	23826	
0	User 2{1}	-9921	472	0	9932	
1962	-194 1202 2309	3876	-29948	4290	30501	
0	User 3{1}	-22614	-33997	0	40831	
0	0 27028 27028	0	0	0	0	
0	GP1{1}	0	0	0	0	
0	0 372 372	0	0	0	0	
0	GP1T1{1}	0	0	0	0	
0	0 8176 8176	0	0	0	0	
0	GP1T1U1{1}	0	0	0	0	
0	0 1430 1430	0	0	0	0	
0	GP1T1U2{1}	0	0	0	0	
1962	-194 9378 9583	0	0	0	0	
0	GP1T1U3{1}	0	0	0	0	
0	0 35204 35204	0	0	0	0	
A03 -	Gravity{1}	31	-1581	0	1582	0
0	134 134	494	-22125	0	22130	
0	Thermal 1{1}	25	-769	0	769	
0	0 7499 7499	-8364	24292	0	25692	
0	Pressure 1{1}	3326	-6128	6374	9447	
0	0 204 204	-25218	-10177	0	27194	
0	User 1{1}	56	-2350	0	2351	
0	0 -960 960	0	0	0	0	
0	User 2{1}	0	0	0	0	
5248	-194 -844 5319	0	0	0	0	
0	User 3{1}	0	0	0	0	
0	0 41912 41912	0	0	0	0	
0	GP1{1}	0	0	0	0	
0	0 338 338	0	0	0	0	

G L O B A L F O R C E S & M O M E N T S

Point Load MOMENTS (N.m)				FORCES (N)			
		name combination		X	Y	Z	Result X
Y	Z	Result		-----	-----	-----	-----
<hr/>							
A04	-	Gravity{1}		31	-4714	0	4714
0	0	115	115				
		Thermal 1{1}		494	-22125	0	22130
0	0	7198	7198				
		Pressure 1{1}		25	-769	0	769
0	0	189	189				
		User 1{1}		-6388	24292	0	25118
0	0	3534	3534				
		User 2{1}		3326	-6128	8330	10863
9738	-194	-2872	10154				
		User 3{1}		-27144	-10177	0	28990
0	0	57888	57888				
		GP1{1}		56	-5483	0	5483
0	0	304	304				
		GP1T1{1}		550	-27608	0	27613
0	0	7502	7502				
		GP1T1U1{1}		-5837	-3316	0	6713
0	0	11036	11036				
		GP1T1U2{1}		3876	-33736	8330	34965
9738	-194	4629	10784				
		GP1T1U3{1}		-26594	-37785	0	46206
0	0	65390	65390				
A04	+	Gravity{1}		31	11129	0	11129
0	0	115	115				
		Thermal 1{1}		494	-3522	0	3556
0	0	7198	7198				
		Pressure 1{1}		25	-249	0	250
0	0	189	189				
		User 1{1}		-6388	-6801	0	9330
0	0	3534	3534				
		User 2{1}		-225	-4294	-9906	10799
9738	-194	-2872	10154				
		User 3{1}		21244	3052	0	21462
0	0	57888	57888				
		GP1{1}		56	10880	0	10880
0	0	304	304				
		GP1T1{1}		550	7358	0	7379
0	0	7502	7502				
		GP1T1U1{1}		-5837	557	0	5864
0	0	11036	11036				
		GP1T1U2{1}		325	3064	-9906	10374
9738	-194	4629	10784				
		GP1T1U3{1}		21795	10410	0	24153
0	0	65390	65390				
SWL		Gravity{1}		31	7879	0	7879
0	0	21	21				
		Thermal 1{1}		494	-3522	0	3556
0	0	5691	5691				

G L O B A L F O R C E S & M O M E N T S

Point MOMENTS name	Load (N.m combination Y Z Result	FORCES (N)				
		X	Y	Z	Result	X
<hr/>						
A05	Gravity{1}	31	7021	0	7021	0
0	-90 90					
	Thermal 1{1}	494	-3522	0	3556	
0	0 3911 3911					
	Pressure 1{1}	25	-249	0	250	
0	0 22 22					
	User 1{1}	9701	-6801	0	11848	
0	0 -12411 12411					
	User 2{1}	-225	-4294	5991	7374	
1616	-194 -1376 2132					
	User 3{1}	5598	3052	0	6376	
0	0 -26501 26501					
	GP1{1}	56	6772	0	6772	
0	0 -68 68					
	GP1T1{1}	550	3250	0	3296	
0	0 3843 3843					
	GP1T1U1{1}	10251	-3551	0	10849	
0	0 -8568 8568					
	GP1T1U2{1}	325	-1044	5991	6090	
1616	-194 2466 2955					
	GP1T1U3{1}	6148	6302	0	8804	
0	0 -22658 22658					
<hr/>						
A06	- Gravity{1}	31	6716	0	6716	
0	0 -129 129					
	Thermal 1{1}	494	-3522	0	3556	
0	0 3279 3279					
	Pressure 1{1}	25	-249	0	250	
0	0 -10 10					
	User 1{1}	11896	-6801	0	13703	
0	0 -26224 26224					
	User 2{1}	-225	-4294	8156	9220	
10672	-194 -1089 10729					
	User 3{1}	3470	3052	0	4621	
0	0 -32268 32268					
	GP1{1}	56	6467	0	6467	
0	0 -139 139					
	GP1T1{1}	550	2945	0	2996	
0	0 3140 3140					
	GP1T1U1{1}	12447	-3856	0	13030	
0	0 -23084 23084					
	GP1T1U2{1}	325	-1349	8156	8273	
10672	-194 2051 10869					
	GP1T1U3{1}	4020	5997	0	7220	
0	0 -29129 29129					
<hr/>						
A06	+ Gravity{1}	31	6716	0	6716	
0	0 -129 129					
	Thermal 1{1}	573	-3522	0	3568	
0	0 3279 3279					

G L O B A L F O R C E S & M O M E N T S

Point name	Load combination	X Y Z	FORCES (N)				
			X	Y	Z	Result	X
<hr/>							
A07	Gravity{1}		31	5626	0	5626	
0	0 -270 270						
	Thermal 1{1}		573	-3522	0	3568	
0	0 658 658						
	Pressure 1{1}		-54	-249	0	255	
0	0 236 236						
	User 1{1}		-4059	-2450	0	4741	
0	0 6403 6403						
	User 2{1}		-624	-1384	-67	1520	-
3491	-194 1767 3917						
	User 3{1}		-2802	3052	0	4143	
0	0 -33056 33056						
	GP1{1}		-23	5377	0	5377	
0	0 -34 34						
	GP1T1{1}		550	1855	0	1935	
0	0 623 623						
	GP1T1U1{1}		-3509	-595	0	3559	
0	0 7026 7026						
	GP1T1U2{1}		-74	471	-67	481	-
3491	-194 2390 4235						
	GP1T1U3{1}		-2252	4907	0	5399	
0	0 -32432 32432						
<hr/>							
A08	- Gravity{1}		31	4536	0	4536	
0	0 -412 412						
	Thermal 1{1}		573	-3522	0	3568	
0	0 -1964 1964						
	Pressure 1{1}		-54	-249	0	255	
0	0 482 482						
	User 1{1}		821	-2450	0	2584	
0	0 13336 13336						
	User 2{1}		-624	-1384	4727	4965	
7630	-194 4622 8923						
	User 3{1}		-7503	3052	0	8100	
0	0 -9038 9038						
	GP1{1}		-23	4287	0	4287	
0	0 71 71						
	GP1T1{1}		550	765	0	943	
0	0 -1893 1893						
	GP1T1U1{1}		1371	-1685	0	2172	
0	0 11443 11443						
	GP1T1U2{1}		-74	-619	4727	4768	
7630	-194 2729 8106						
	GP1T1U3{1}		-6953	3817	0	7932	
0	0 -10931 10931						
<hr/>							
A08	+ Gravity{1}		-289	4536	0	4545	
0	0 -412 412						
	Thermal 1{1}		710	-3561	0	3631	
0	0 -1964 1964						

G L O B A L F O R C E S & M O M E N T S

Point MOMENTS name Y	Load (N.m combination Z Result	FORCES (N)				
		X	Y	Z	Result	X
<hr/>						
A09	Gravity{1}	-289	3502	0	3514	
0	0 841 841					
	Thermal 1{1}	710	-3561	0	3631	
0	0 -5045 5045					
	Pressure 1{1}	129	-210	0	246	
0	0 -78 78					
	User 1{1}	3009	-2172	0	3711	
0	0 7682 7682					
	User 2{1}	814	-522	-528	1102	-
1844	-194 1091 2151					
	User 3{1}	-3868	4462	0	5906	
0	0 680 680					
	GP1{1}	-160	3292	0	3296	
0	0 763 763					
	GP1T1{1}	550	-269	0	613	
0	0 -4281 4281					
	GP1T1U1{1}	3559	-2441	0	4316	
0	0 3401 3401					
	GP1T1U2{1}	1364	-791	-528	1663	-
1844	-194 -3191 3690					
	GP1T1U3{1}	-3318	4193	0	5347	
0	0 -3602 3602					
<hr/>						
A10 N	Gravity{1}	-289	2567	0	2583	
0	0 1973 1973					
	Thermal 1{1}	710	-3561	0	3631	
0	0 -7828 7828					
	Pressure 1{1}	129	-210	0	246	
0	0 -584 584					
	User 1{1}	4407	-2172	0	4913	
0	0 -7766 7766					
	User 2{1}	814	-522	819	1267	-
394	-194 -2099 2145					
	User 3{1}	-5198	4462	0	6850	
0	0 19318 19318					
	GP1{1}	-160	2357	0	2363	
0	0 1389 1389					
	GP1T1{1}	550	-1204	0	1323	
0	0 -6439 6439					
	GP1T1U1{1}	4957	-3375	0	5997	
0	0 -14205 14205					
	GP1T1U2{1}	1364	-1726	819	2348	-
394	-194 -8538 8550					
	GP1T1U3{1}	-4647	3259	0	5676	
0	0 12879 12879					

R E S U L T S U M M A R Y

Maximum Hoop stress ratio

Point : A03
Stress N/mm² : 141
Allowable N/mm² : 259,2
Ratio : 0.06
Load combination : Max P{1}

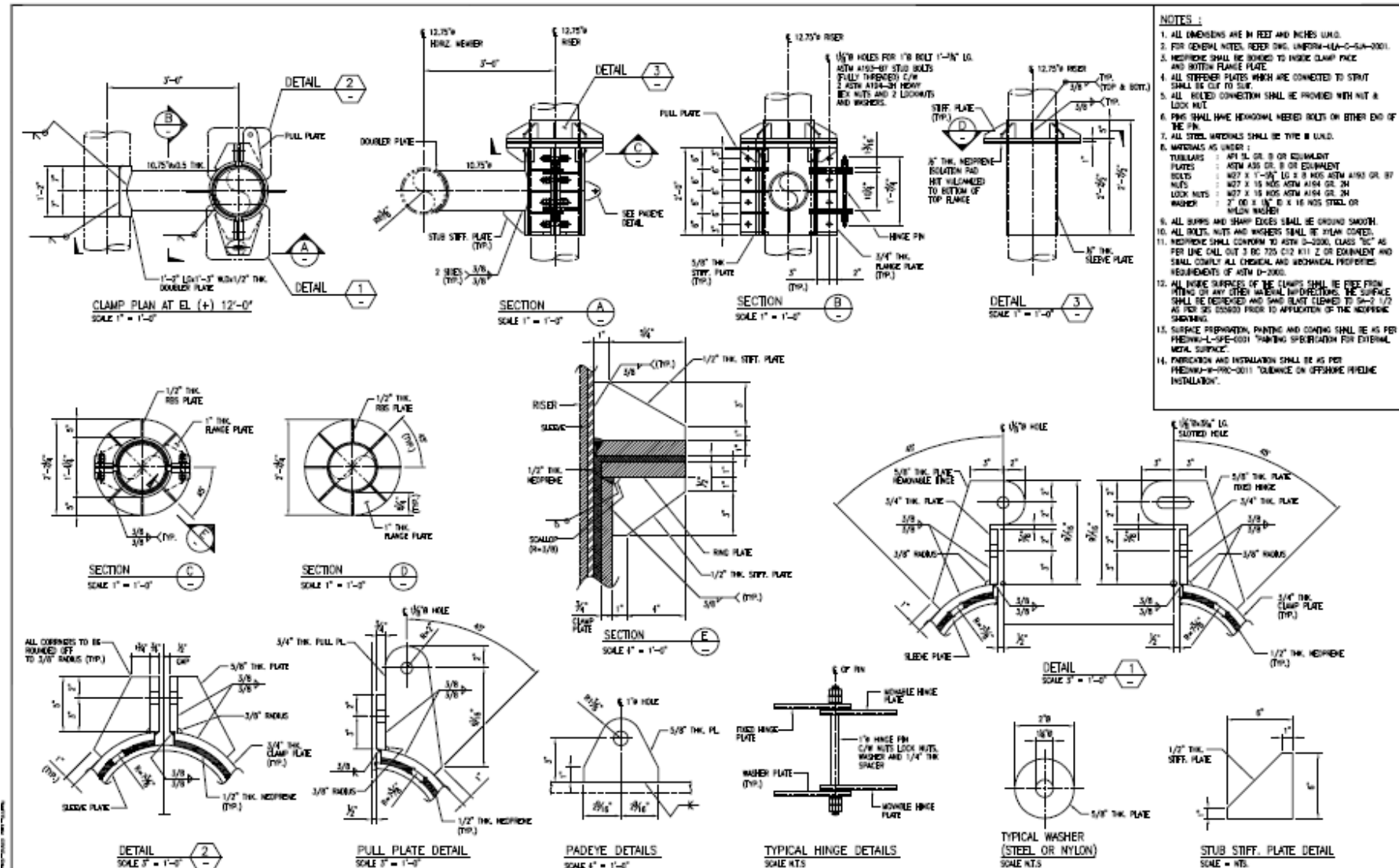
Maximum Longitudinal stress ratio

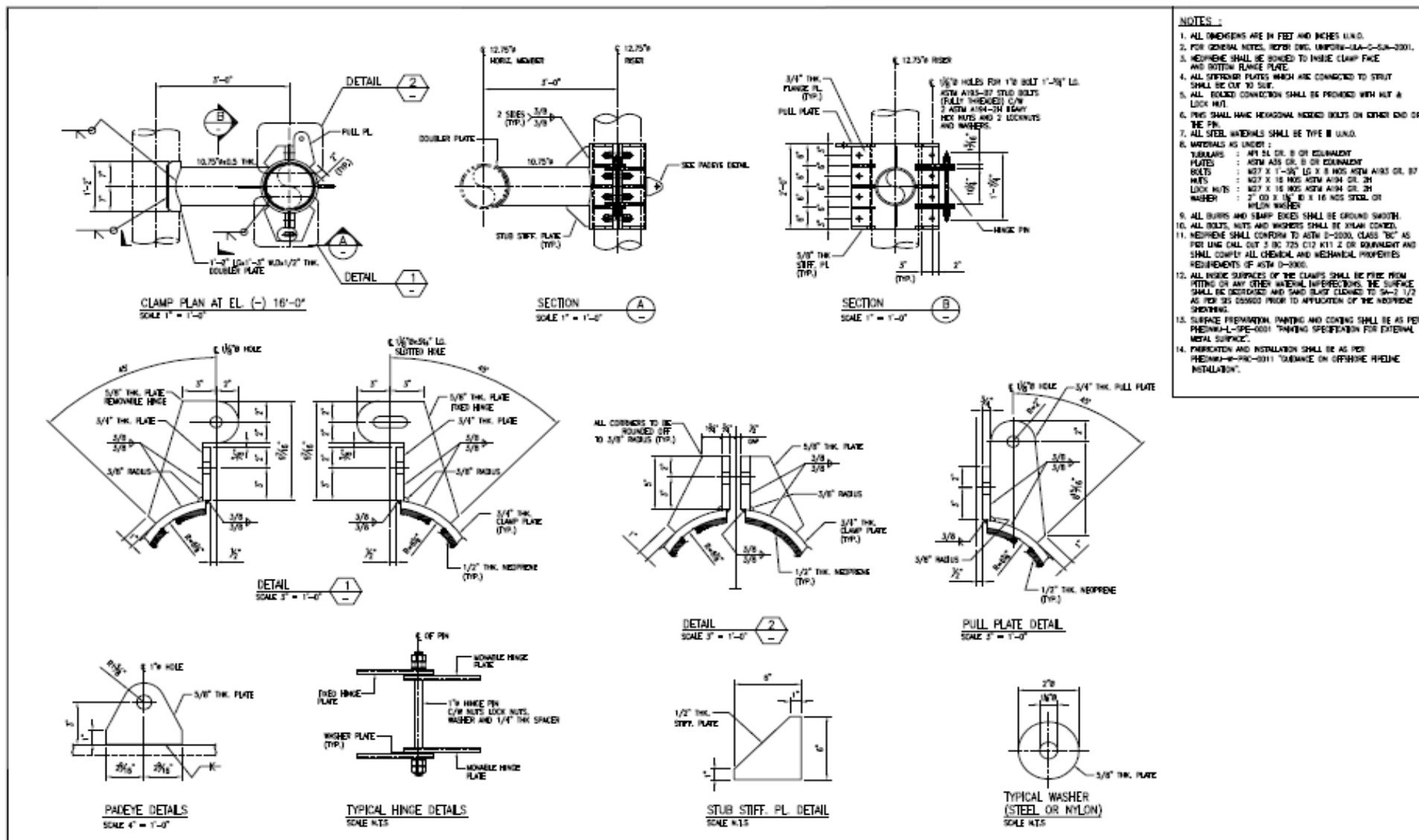
Point : A09
Stress N/mm² : 200
Allowable N/mm² : 288
Ratio : 0.26
Load combination : GRTP1+U1{1}

Maximum Combined stress ratio

Point : A09
Stress N/mm² : 228
Allowable N/mm² : 324
Ratio : 0.25
Load combination : GRTP1+U1{1}

LAMPIRAN C
DRAWING RISER CLAMP





BIODATA PENULIS



Ika Desita Sariningsih, biasanya dipanggil Ita lahir di Mojokerto, 4 Desember 1993, merupakan anak pertama dari 2 bersaudara. Menempuh pendidikan formal yaitu di SDN 1 Watukenonggo pada tahun 1999-2005, SMP Negeri 2 Pungging pada tahun 2005-2008, dan SMA Negeri 1 Mojosari pada tahun 2008-2011. Setelah lulus pada tahun 2011, ia mengikuti SNMPTN Jalur Undangan dan diterima di Jurusan Teknik Kelautan FTK-ITS dan terdaftar dengan NRP. 4311100006. Penulis aktif di Himpunan Teknik kelautan serta beberapa Seminar yang diselenggarakan oleh Jurusan dan Himpunan Jurusan Teknik Kelautan ITS. Pada periode 2012-2013, penulis aktif di Himpunan Mahasiswa Teknik Kelautan menjadi Staff dibidang akademik dalam Departemen Kesejahteraan Mahasiswa (Kesma), dan pada periode 2013-2014, menjadi Kepala Divisi (Kadiv) akademik Departemen Kesejahteraan Mahasiswa (Kesma) Himpunan Mahasiswa Teknik Kelautan. Buku Tugas Akhir berjudul “Analisa Tegangan Riser Clamp ULA Platform Milik PHE-ONWJ (Pertamina Hulu Energi-Offshore North West Java)” telah diselesaikan dalam 1 semester sebagai syarat akhir kelulusan pendidikan Strata 1, dimana permasalahan yang diangkat oleh penulis mendasar kepada salah satu bidang keahlian di Jurusan Teknik Kelautan FTK-ITS.